

APPORTS DE LA SCINTIGRAPHIE EN RHUMATOLOGIE

DENIS MARIANO-GOULART
Service de médecine nucléaire
CHRU de Montpellier

PLAN

① Evolutions de la médecine nucléaire

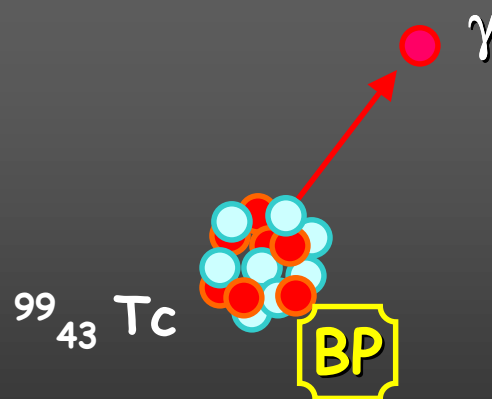
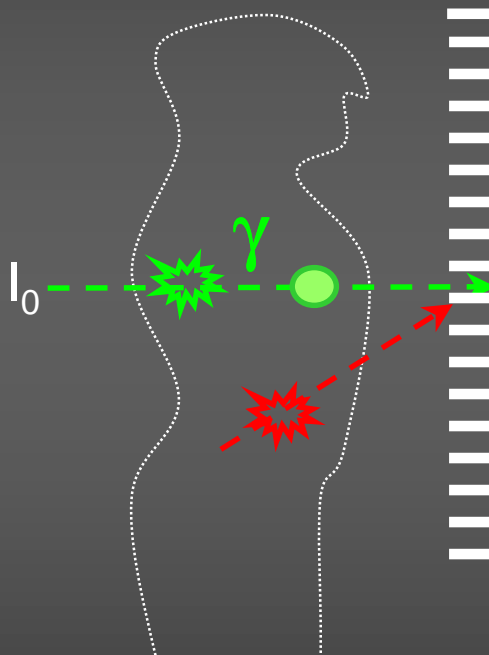
- Les scintigraphies γ et β^+ , SPECT-CT et PET-CT
- Déroulement d'un examen

② Indications

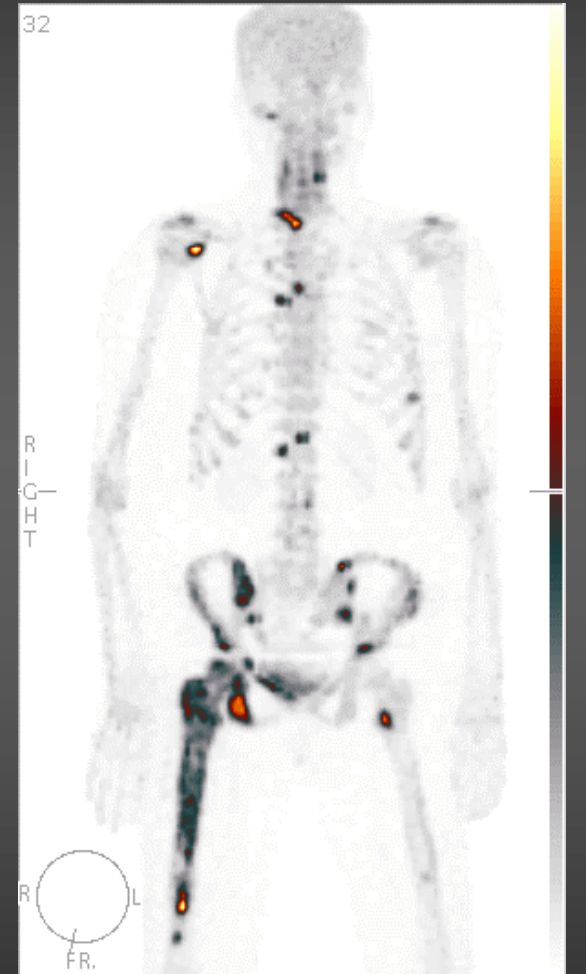
- Fractures, neuroalgodystrophie, ostéonécrose
- Arthrose, arthrites inflammatoires, Paget,
- ostéopathies hypertrophiante et métaboliques
- Infections osseuses
- Pathologies tumorales osseuses.

③ Bibliographie

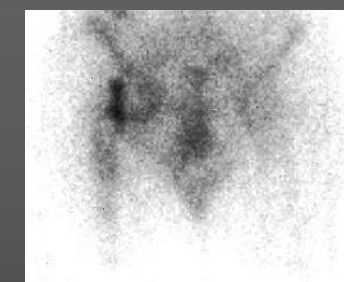
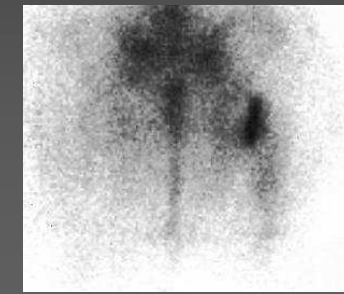
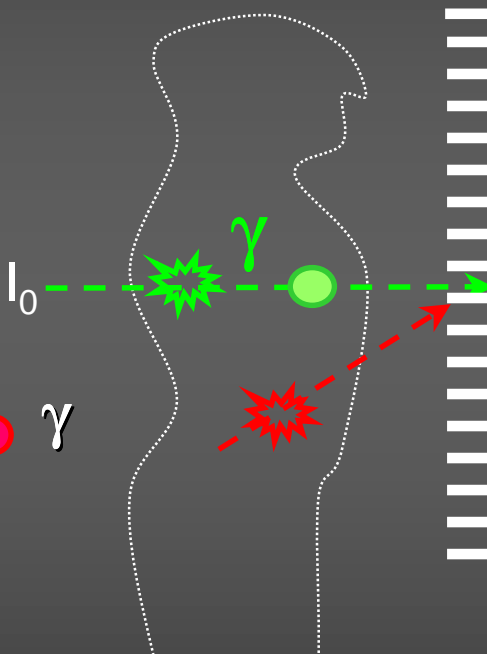
SPECT (γ) : CHU LAPEYRONIE



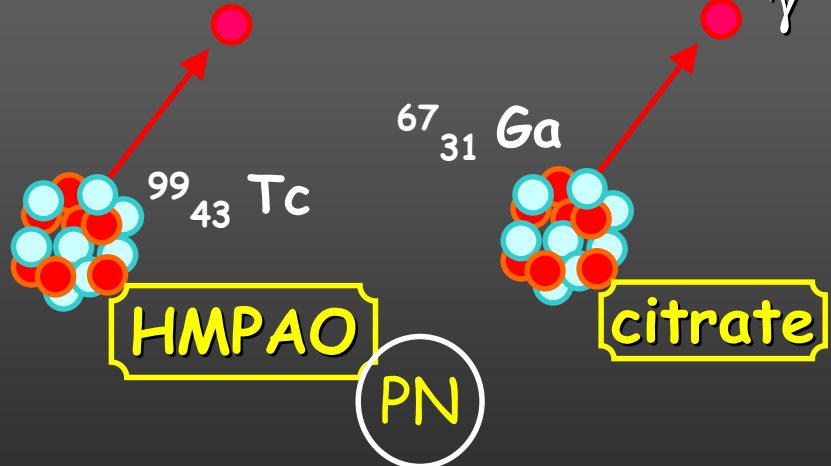
Acti. ostéoblastique



SPECT (γ) : CHU LAPEYRONIE



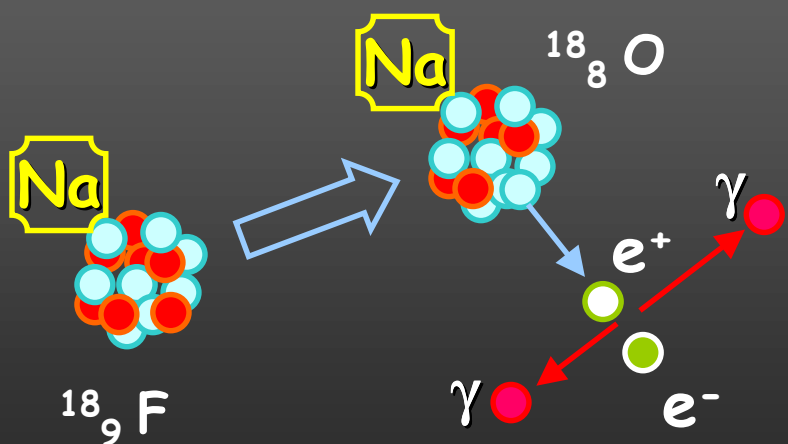
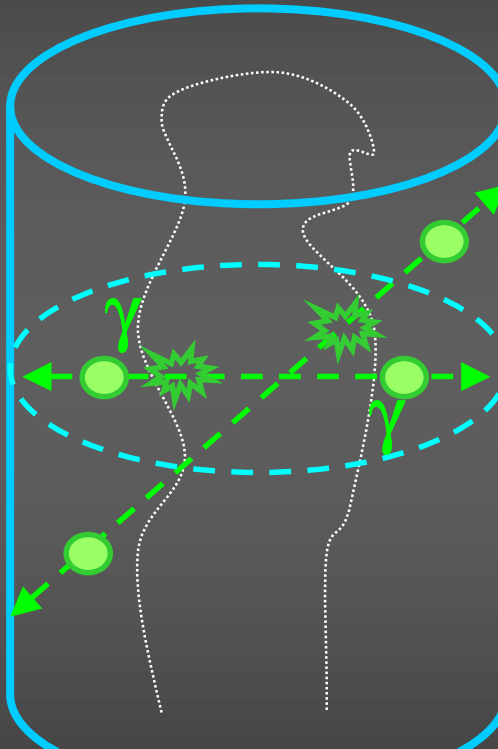
Ga



Infection

Inflammation

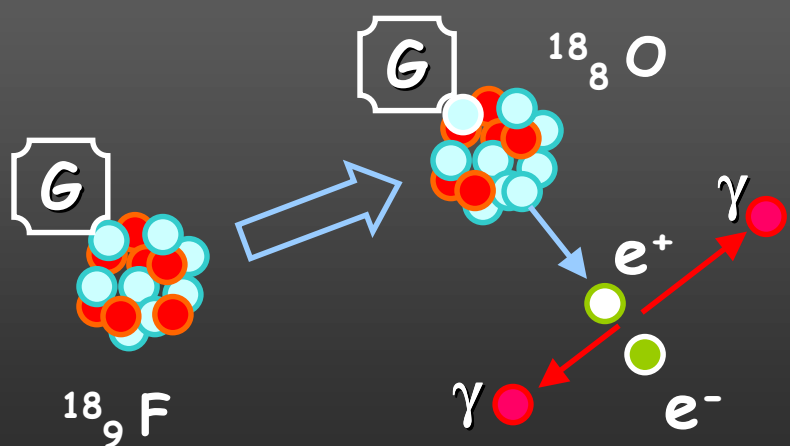
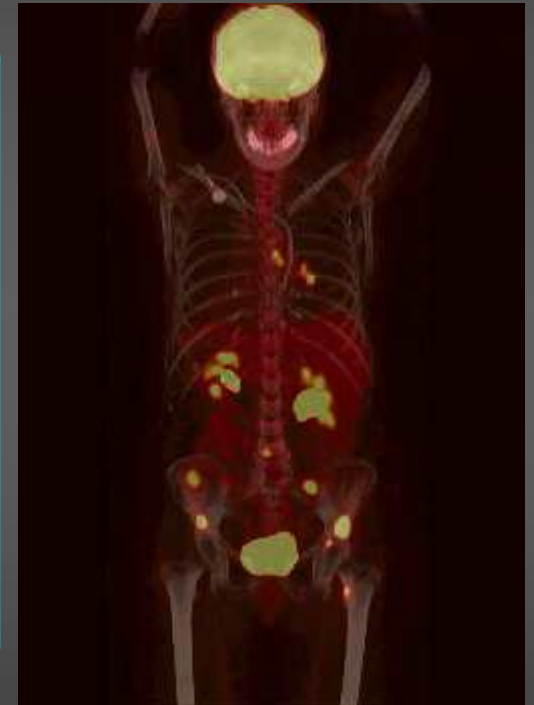
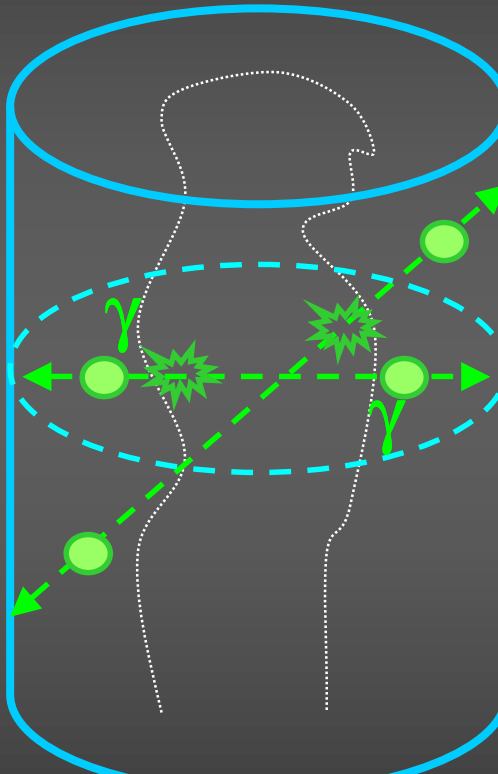
PET (β^+) : CHU GUI DE CHAULIAC



Activité ostéoblastique

18-FNa

PET (β^+) : CHU GUI DE CHAULIAC



18-FDG

Cancers, inflammation (infection), hypoxie

TECHNOLOGIE FRACTURE ALGO NECROSE ARTHROSE ARTHRITE OAH HYPERPARA OSSIFICATION INFECTION TUMEUR

SPECT-CT & PET-CT

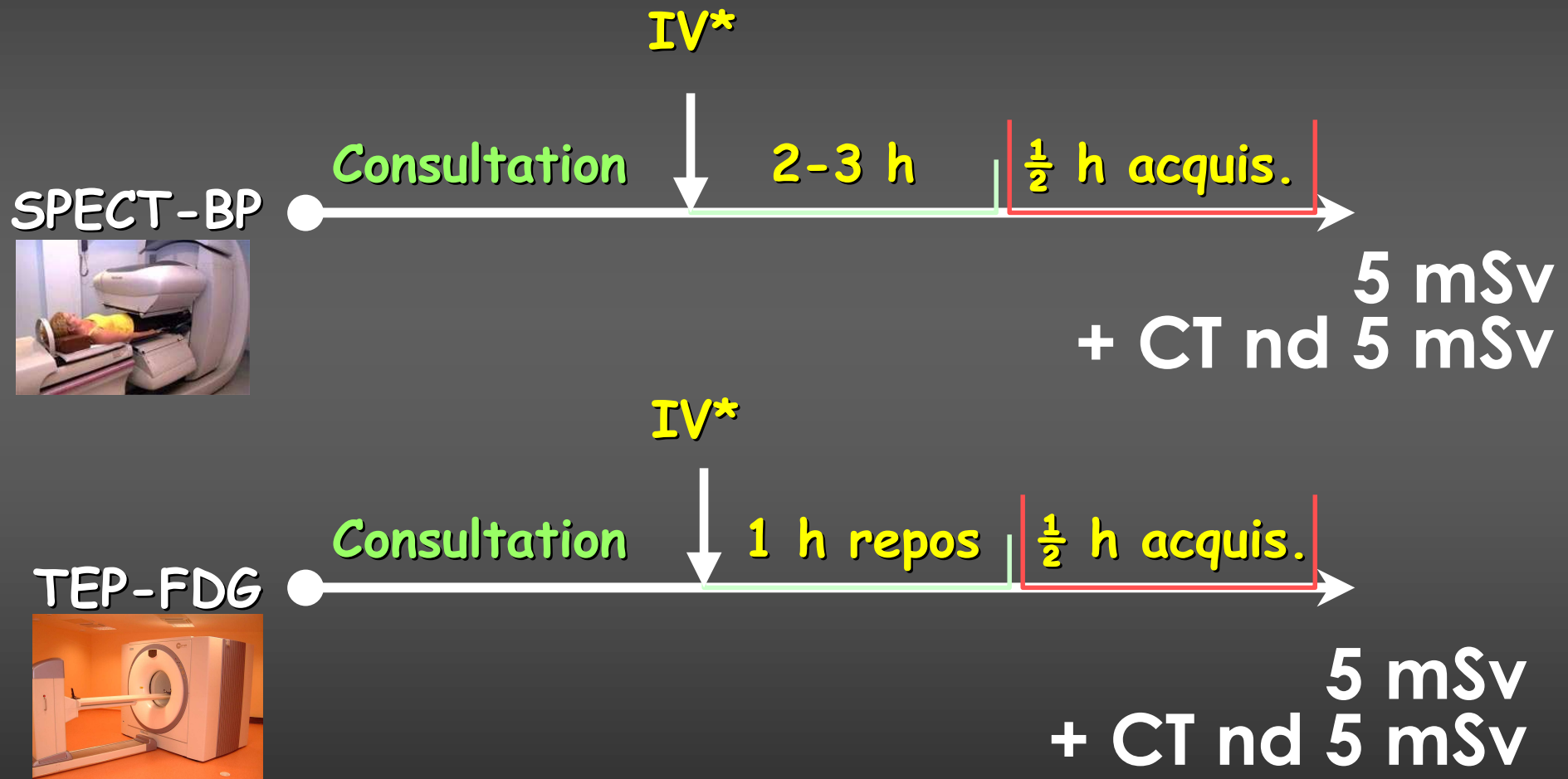


SPECT(BP)-CT



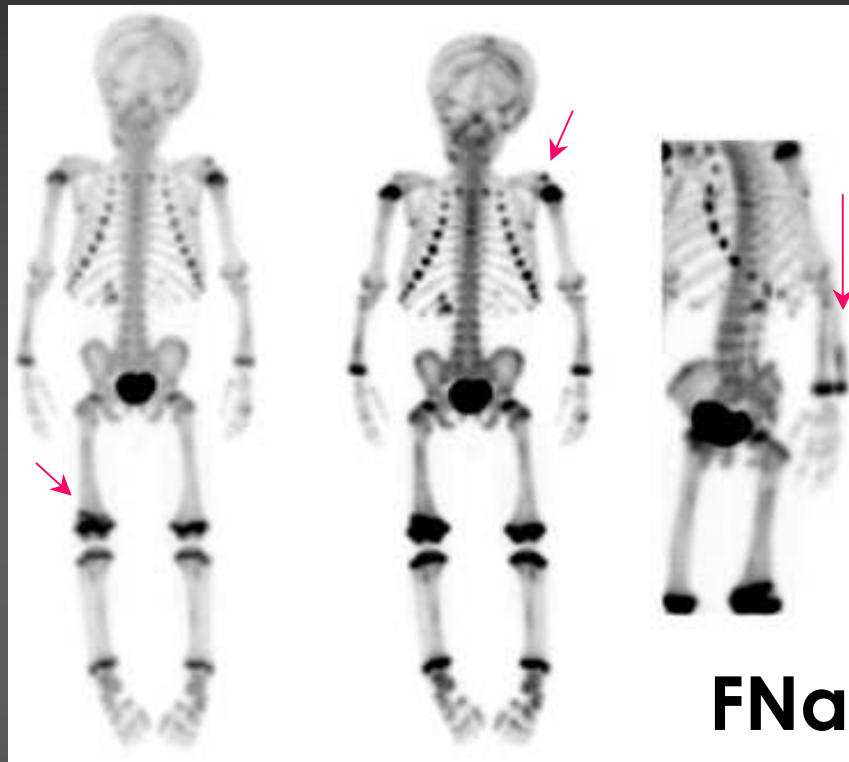
PET(FDG)-CT

Déroulement d'un examen

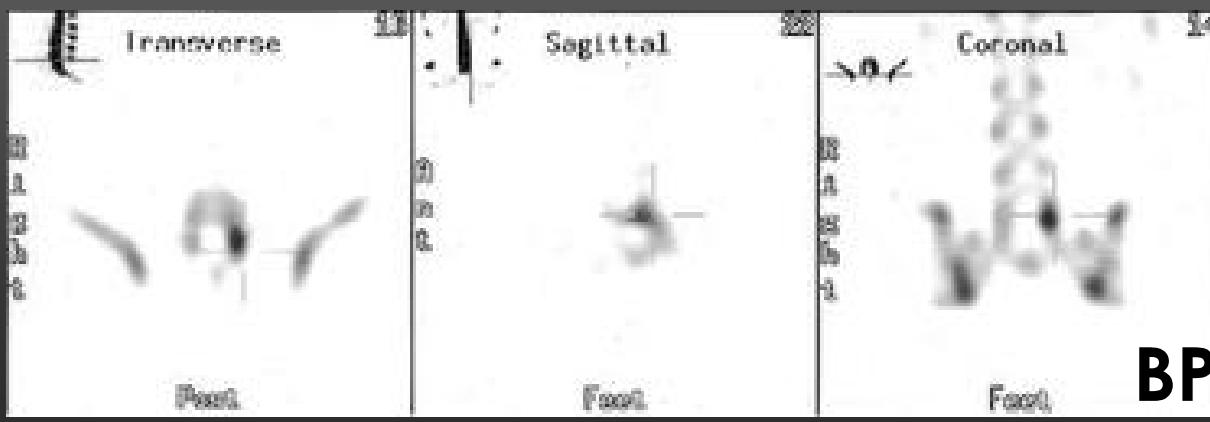


Pour comparaison, CT diagnostique : 10-20 mSv / acquisition

FRACTURES



FNa

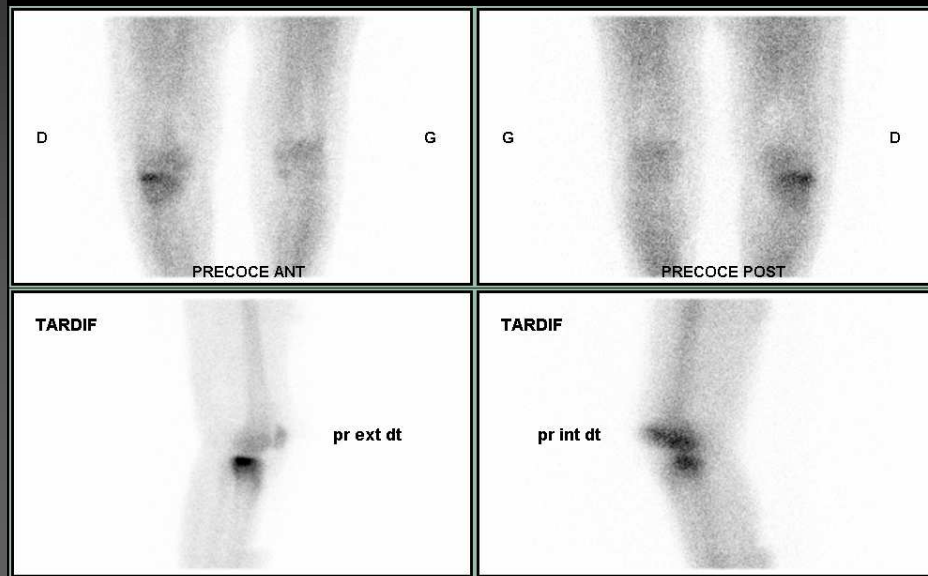


BP

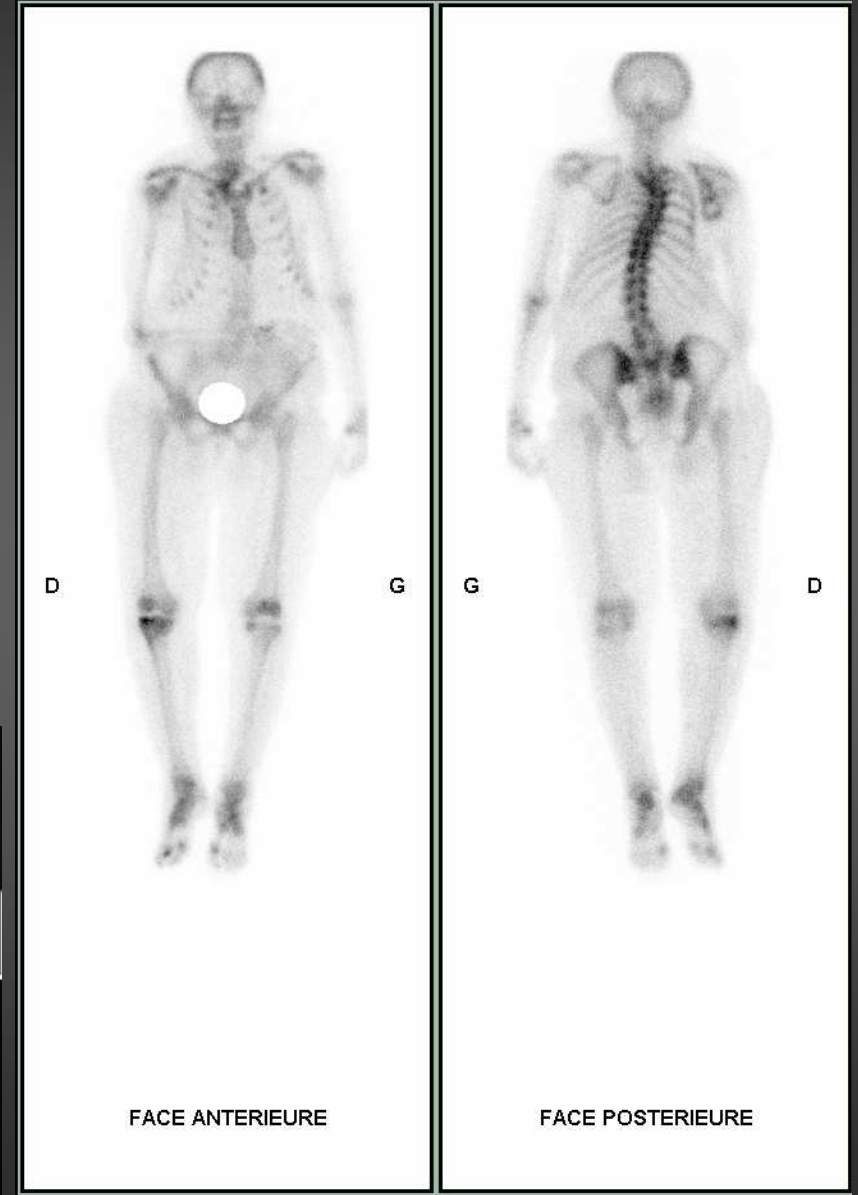
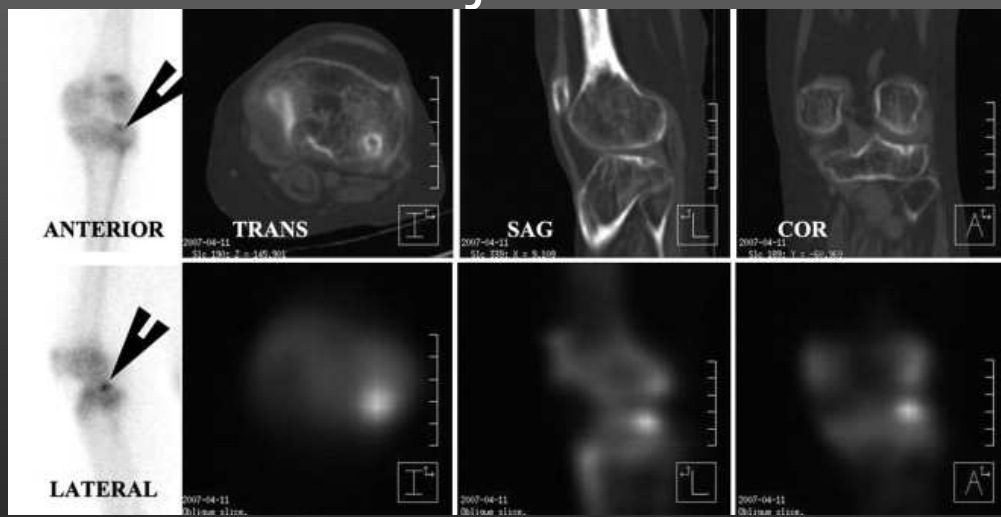


BP

FRACTURE DU PLATEAU TIBIAL EXT

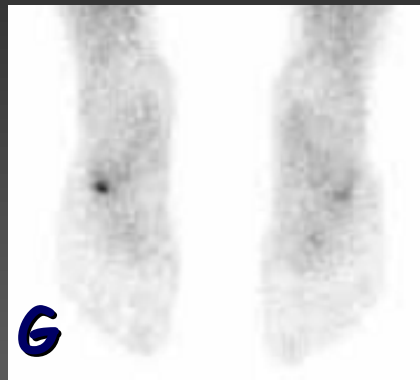


65 ans, chute : # omoplate D
Douleur jambe droite

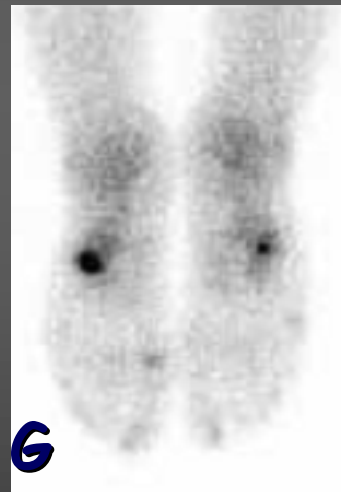


BP

FRACTURE DE STRESS DU CUBOÏDE

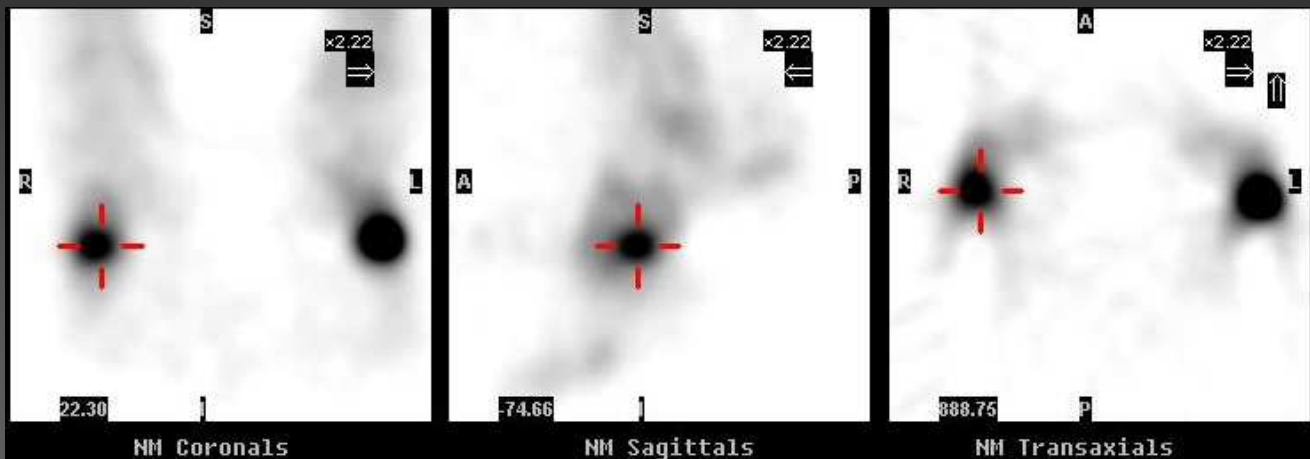


Précoce



Tardif

Douleur pied G
chez un marcheur

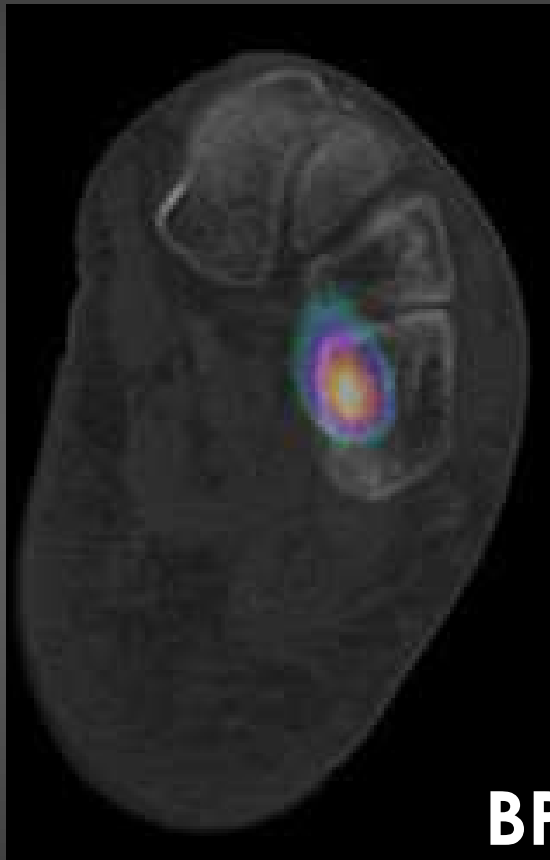
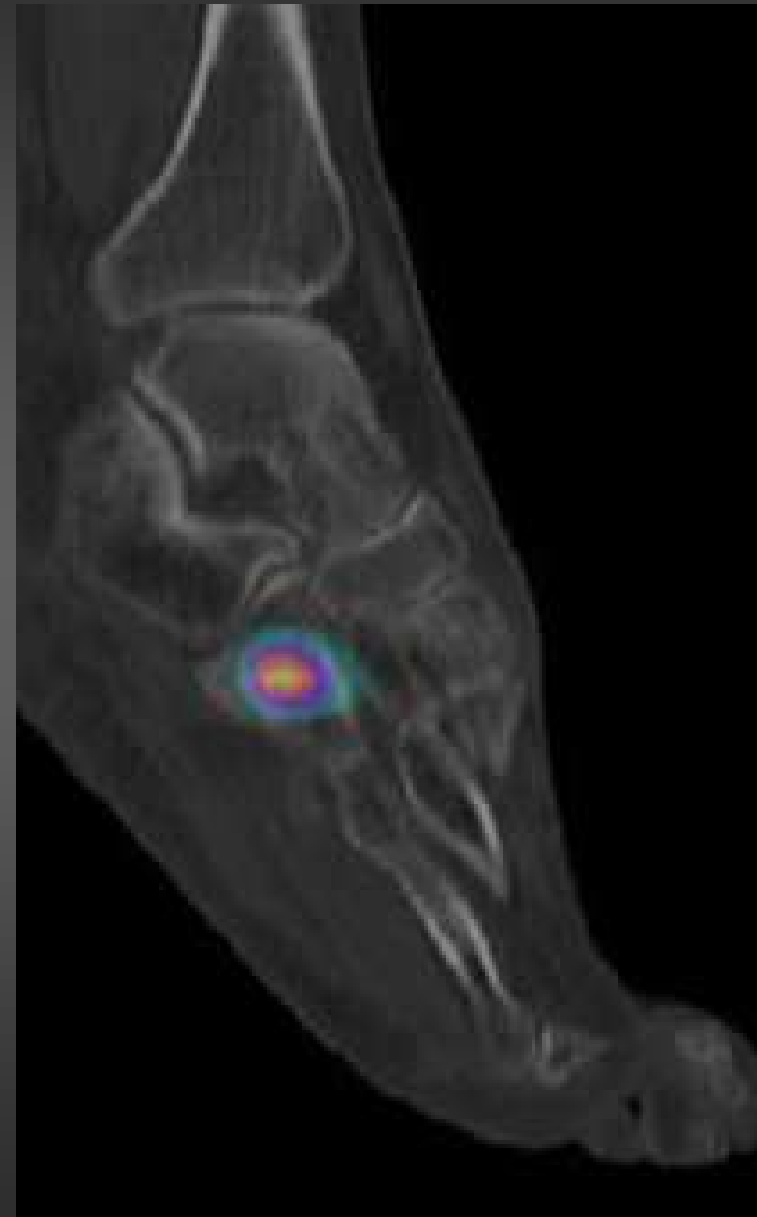


Fracture de stress du cuboïde G
arthropathie cuboïde-cunéiforme latéral D

BP

TECHNOLOGIE FRACTURE ALGO NECROSE ARTHROSE ARTHRITE OAH HYPERPARA OSSIFICATION INFECTION TUMEUR

FRACTURE DE STRESS DU CUNEIFORME MEDIAL



BP

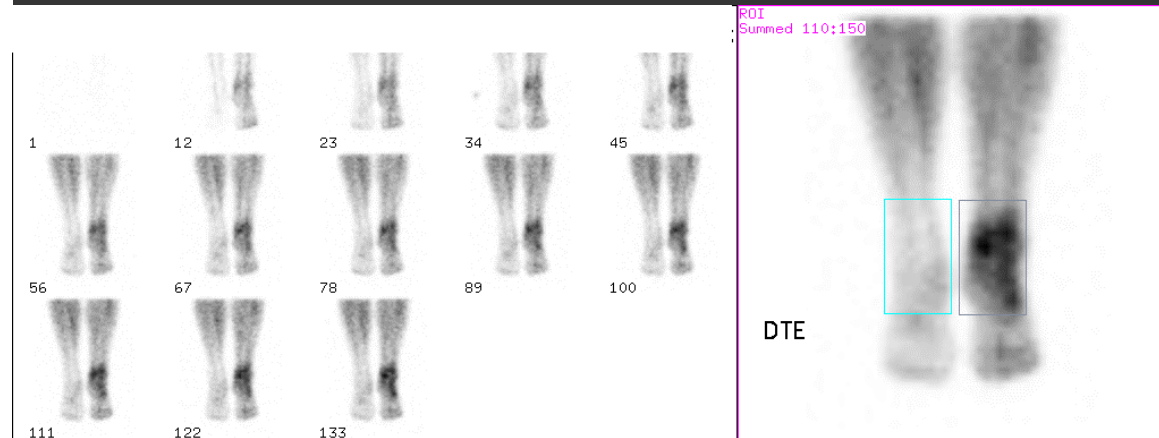
CH PERPIGNAN

SYNTHESE SUR LES FRACTURES

- Sensibilité = 100 %
- Spécificité > 80 % (ostéonécroses)
 - Améliorée par la SPECT-CT
- Devant toute suspicion clinique à Rx normale.
 - Fracture de stress : 80 % de radio normales
 - Silvermann : + 25 à 50 % de fractures versus la radiologie
 - Pour éviter douleur chronique et algodystrophie

TECHNOLOGIE FRACTURE ALGO NECROSE ARTHROSE ARTHRITE OAH HYPERPARA OSSIFICATION INFECTION TUMEUR

ALGODYSTROPHIE



Se = 96 %
Sp = 98 %

BP

OSTEONECROSE

Tête ou condyle fémoral interne
Plateau tibial interne
Talus, calcaneus
Semi-lunaire
Extrémité interne de la clavicule



BP



T1



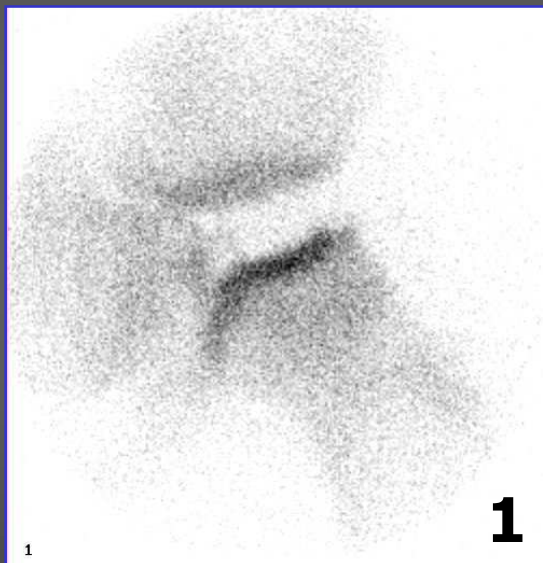
T2



Se = 87 ± 3 % ≈ IRM
Sp = 90 ± 10 % = IRM

BP

OSTEOCHONDRITE PRIMITIVE



1

Se = Sp = 95 %
Pronostic
(J Nucl Med 2003; 44)

2A

3A

2B

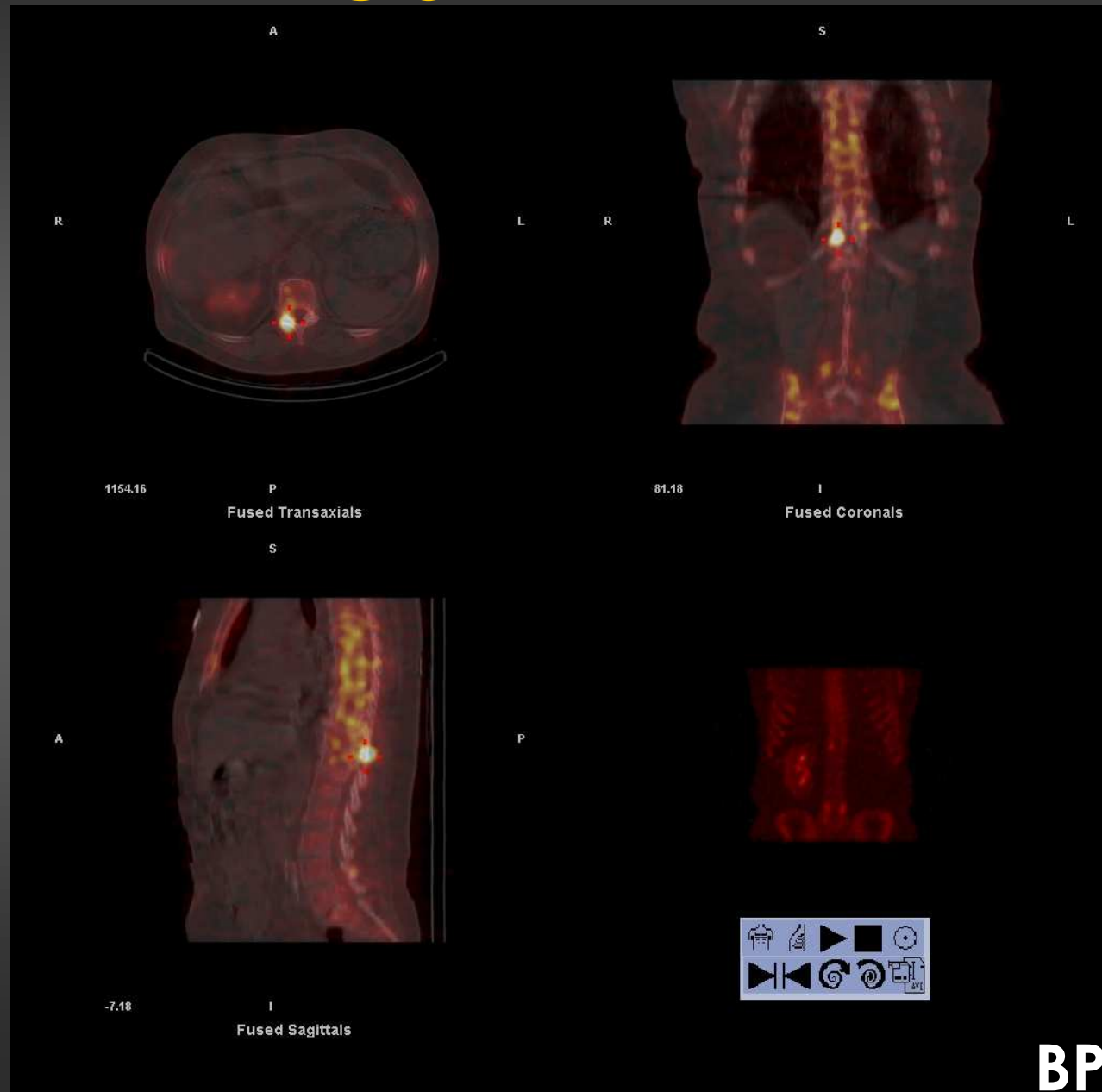
3B

BP

ARTHROSE



67 ans, dorsalgie
Acromégalie
Atcd: Spondylodiscite
L5-S1



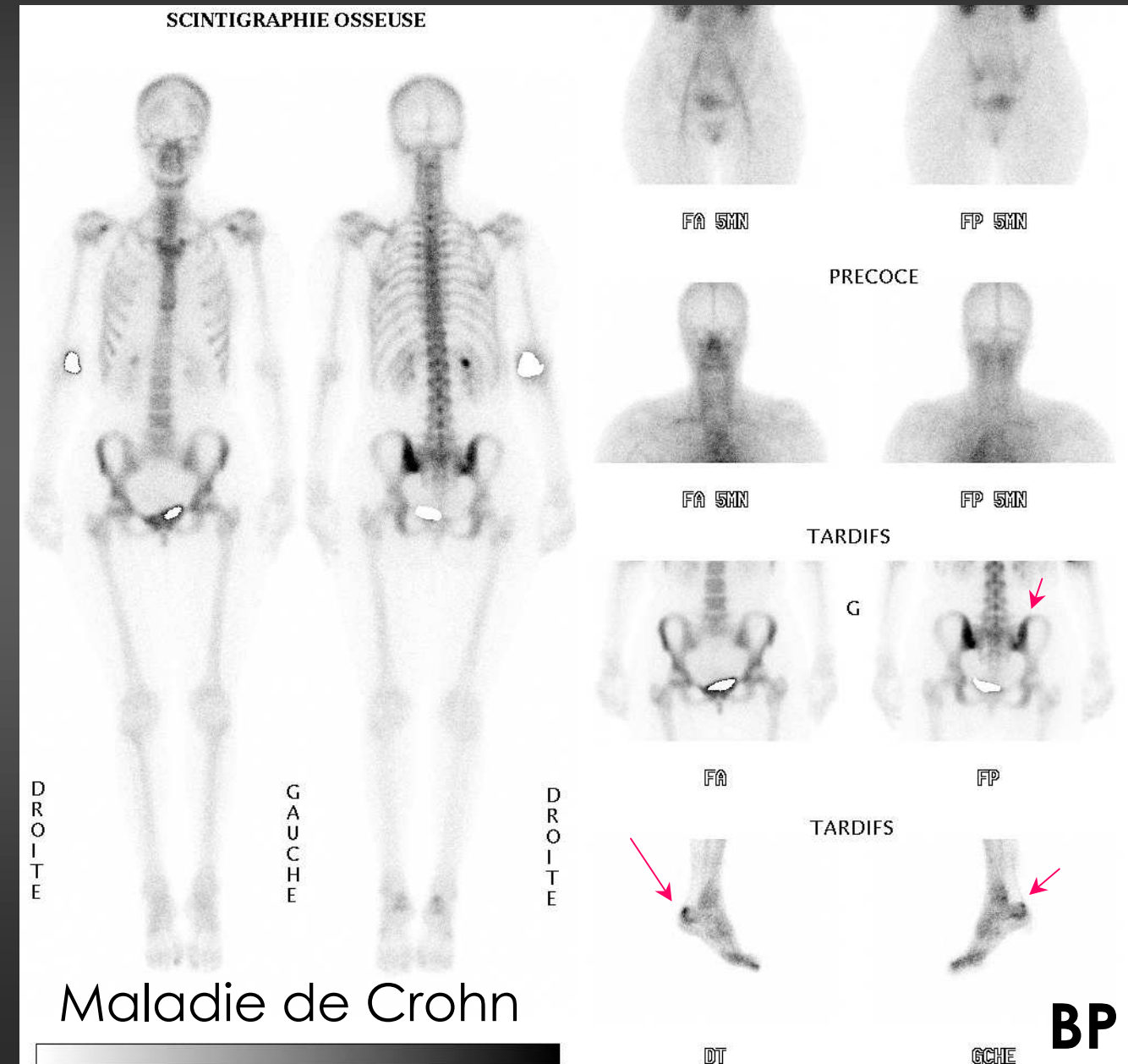
BP

TECHNOLOGIE FRACTURE ALGO NECROSE ARTHROSE ARTHRITE OAH HYPERPARA OSSIFICATION INFECTION TUMEUR

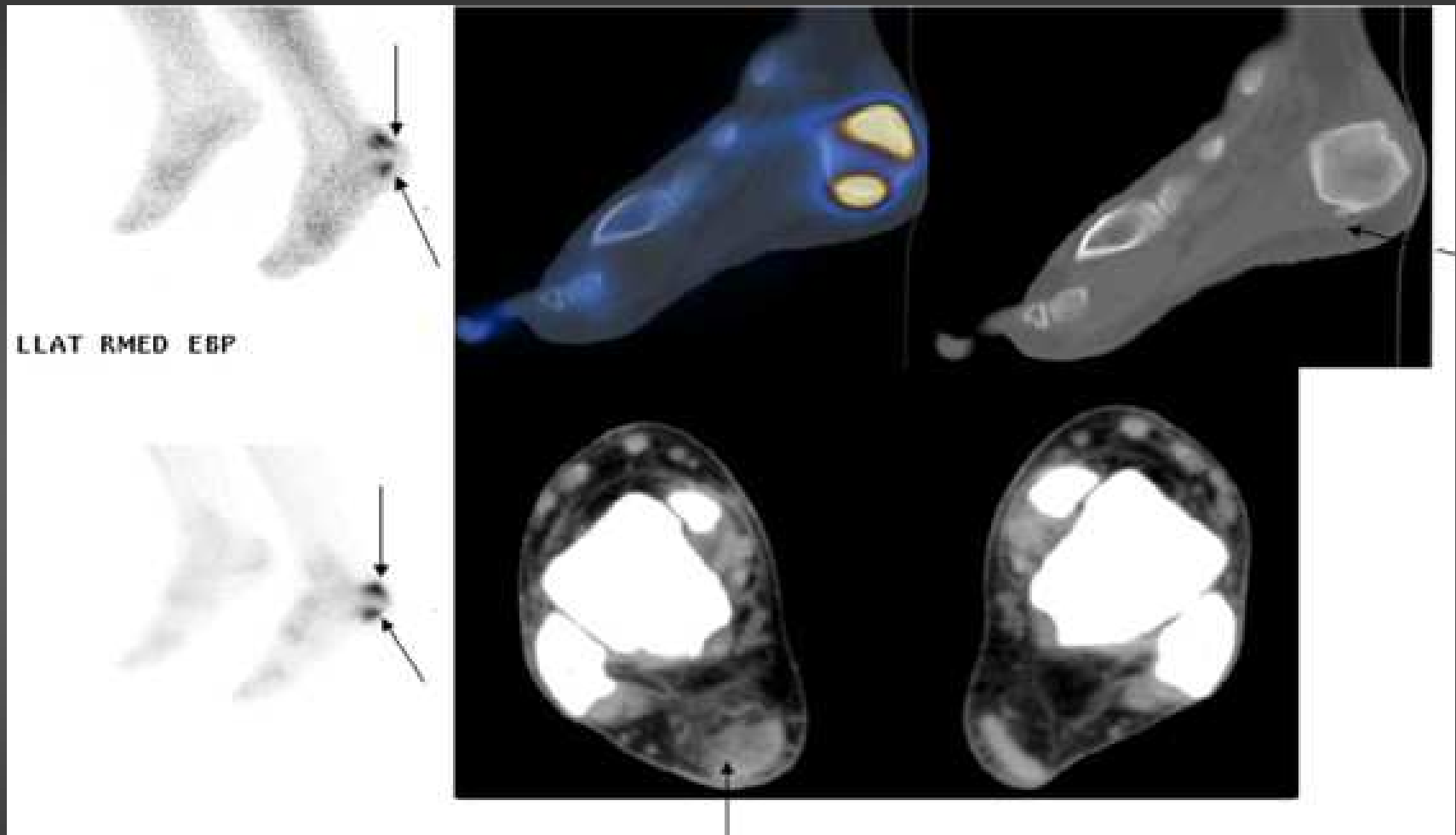
OSTEO-ARTHrites



ostéo-arthrite
infectieuse



ENTHESOPATHIES

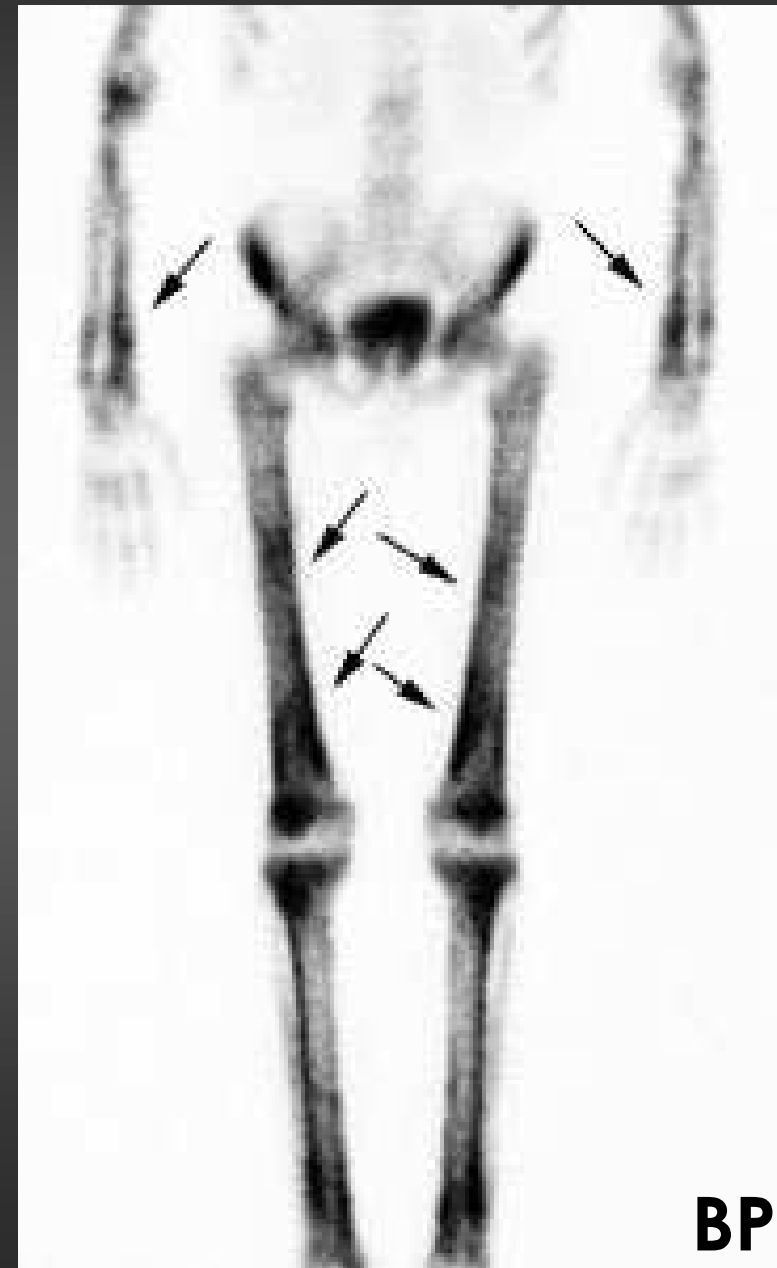


Fasciite plantaire
Boursite rétro-calcanéenne, tendinite du tendon d'Achille

BP

TECHNOLOGIE FRACTURE ALGO NECROSE ARTHROSE ARTHRITE OAH HYPERPARA OSSIFICATION INFECTION TUMEUR

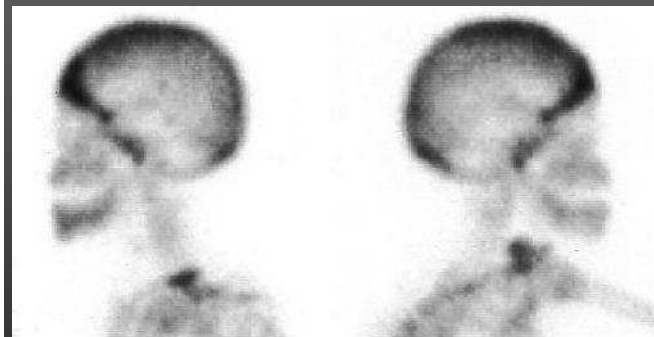
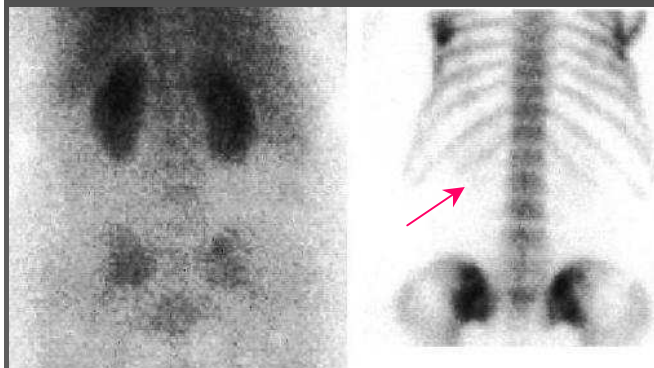
OSTEOARTHROPATHIE HYPERTROPHIANTE



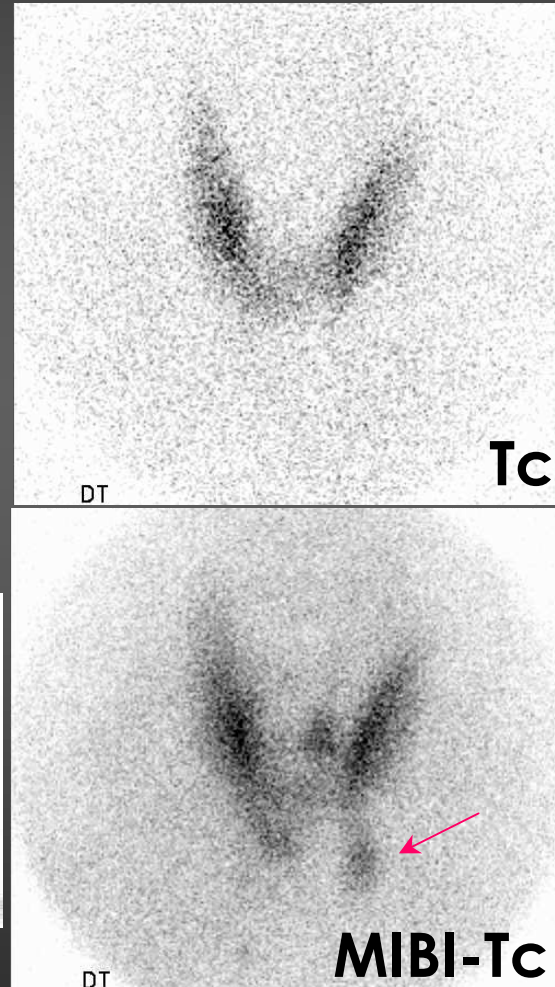
BP

TECHNOLOGIE FRACTURE ALGO NECROSE ARTHROSE ARTHRITE OAH HYPERPARA OSSIFICATION INFECTION TUMEUR

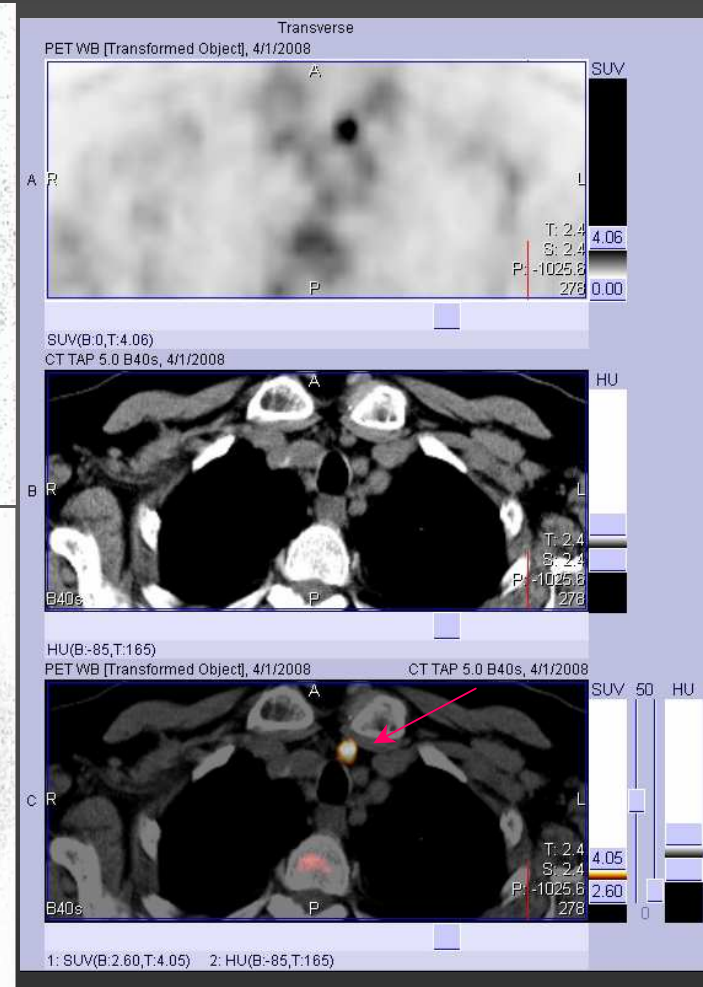
OSTEOPATHIES METABOLIQUES



BP



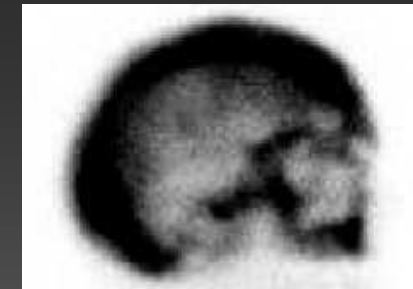
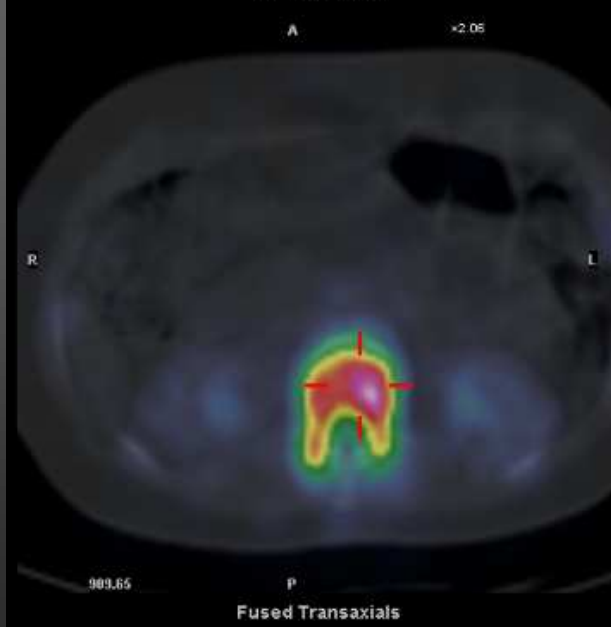
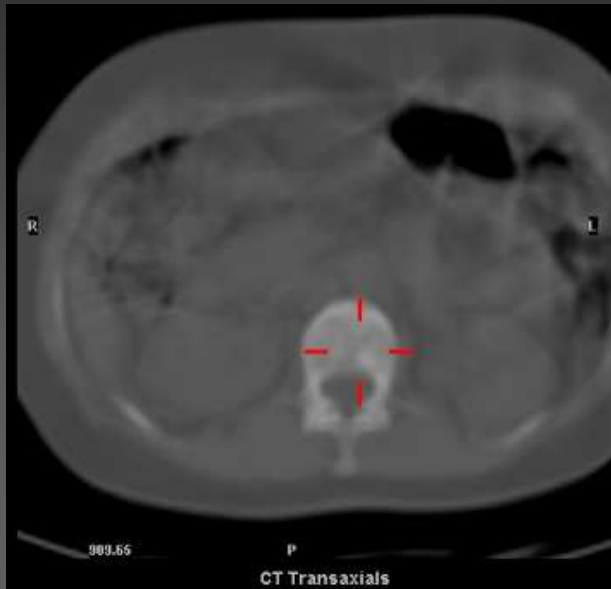
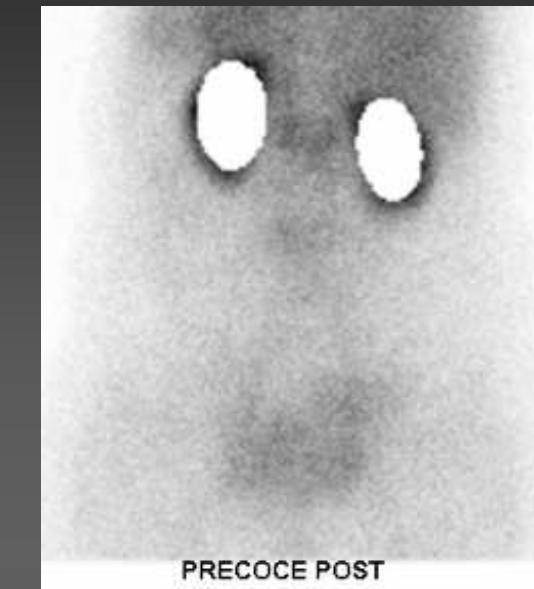
MIBI-Tc



FDG

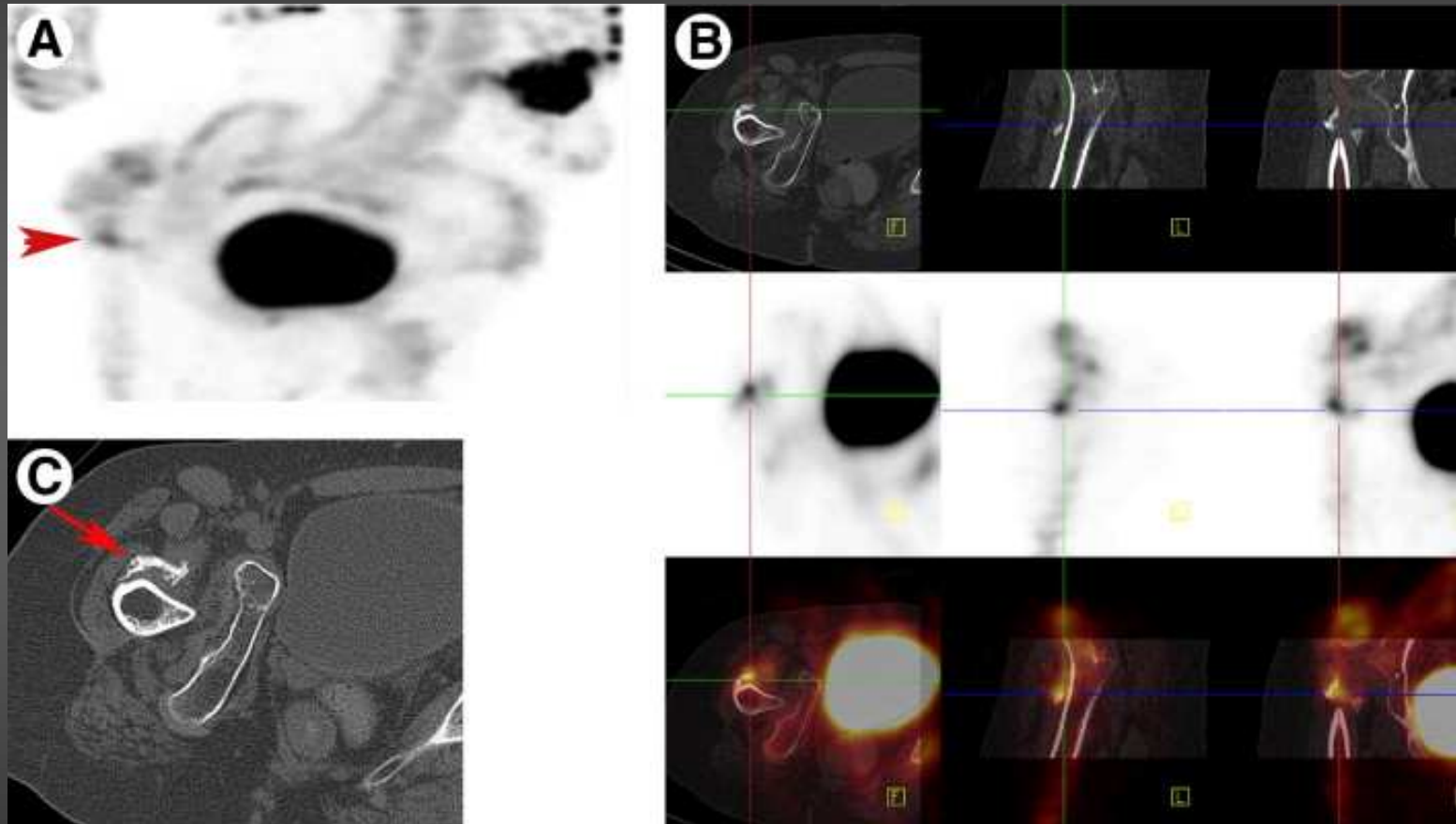
TECHNOLOGIE FRACTURE ALGO NECROSE ARTHROSE ARTHRITE OAH HYPERPARA OSSIFICATION INFECTION TUMEUR

PAGET



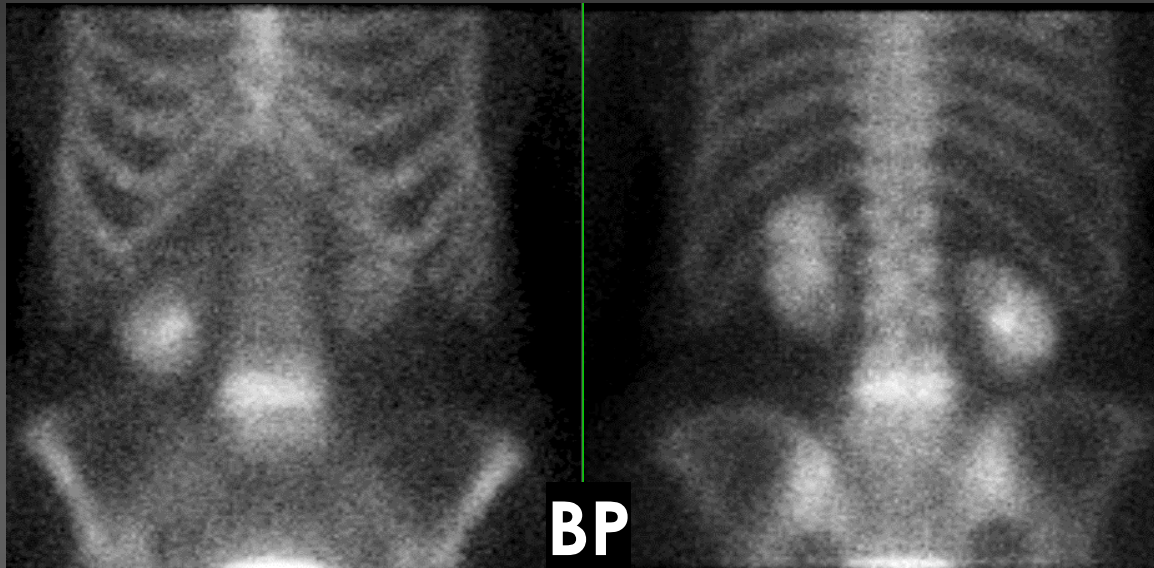
BP

OSSIFICATIONS HETEROTOPIQUES

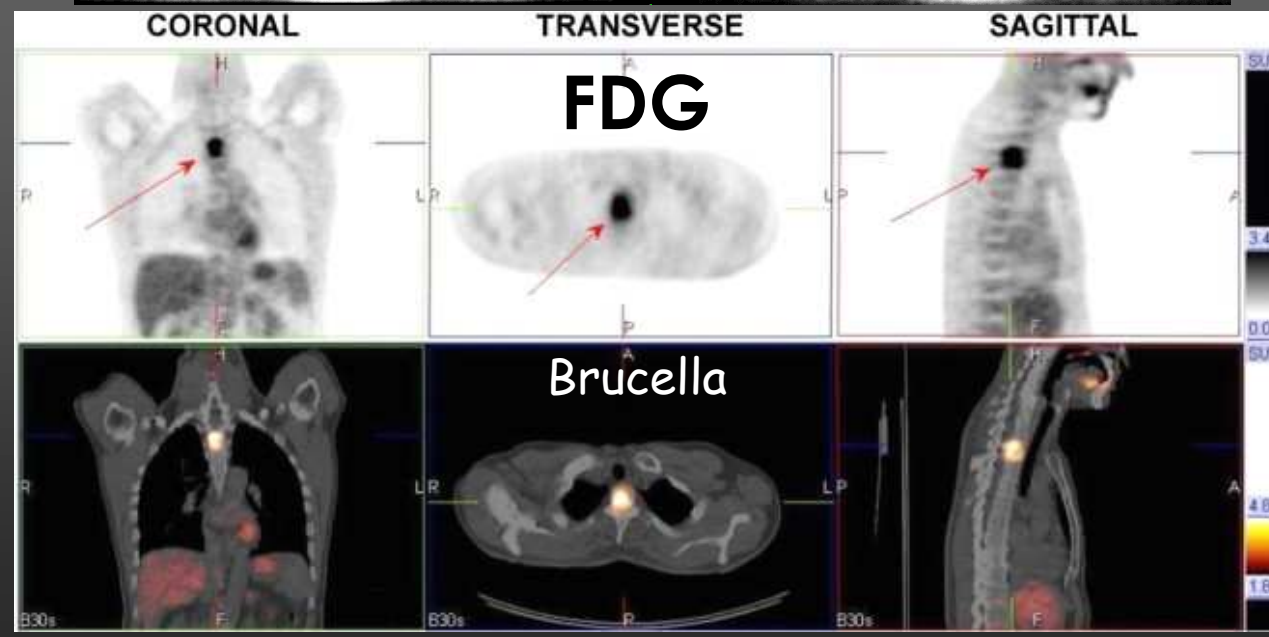


BP

SPONDYLODISCITE ET SPONDYLITE



Pas d'indication de PN car
 $Se \approx 50\%$
MO + encapsulation



$Se = 100\%$
 $Sp = 75\%$ (Sdiscite)
 $Sp = 90\%$ (Site)

FDG > SPECT (Ga,BP)
FDG > IRM

INFECTIONS DE PROTHESES

SPECT-CT: PN+Colloïdes

Se = 100%

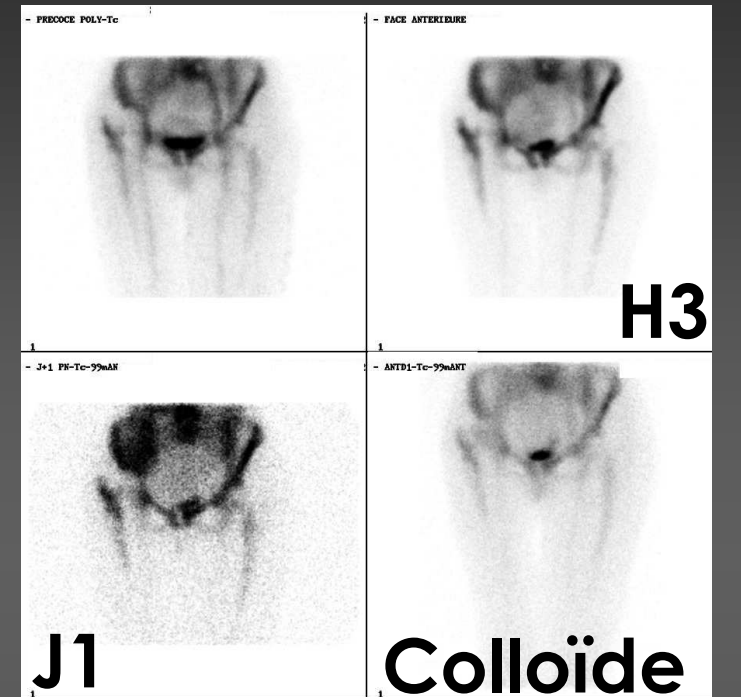
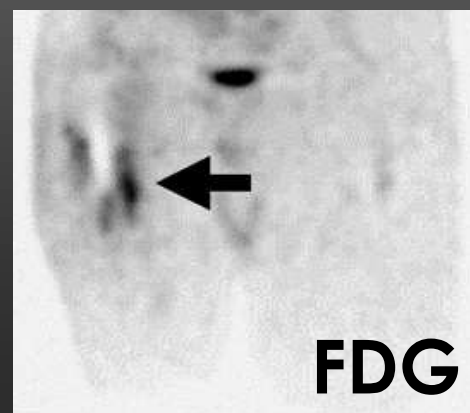
Sp = $96 \pm 4\%$

PET-CT FDG: critères ?

Se = 90%

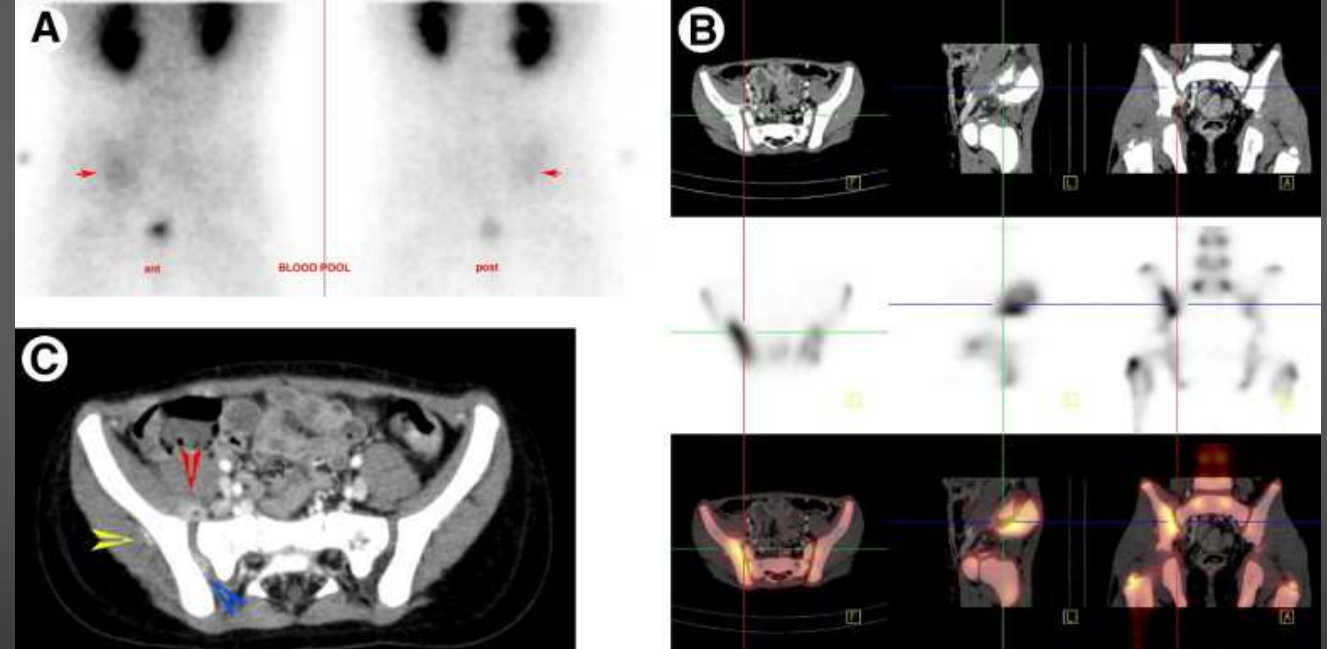
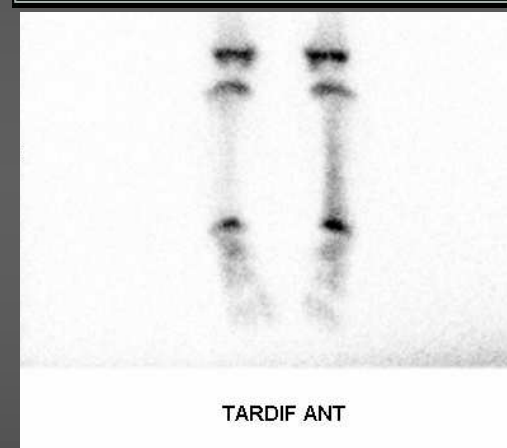
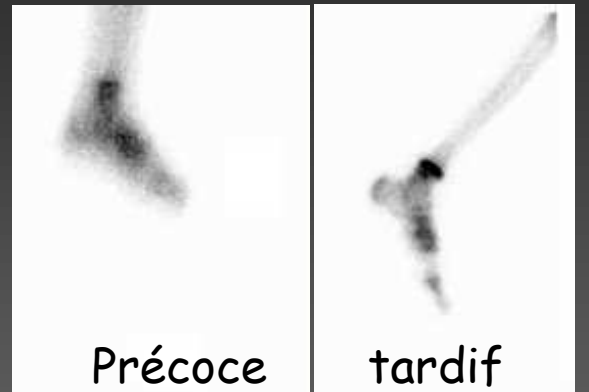
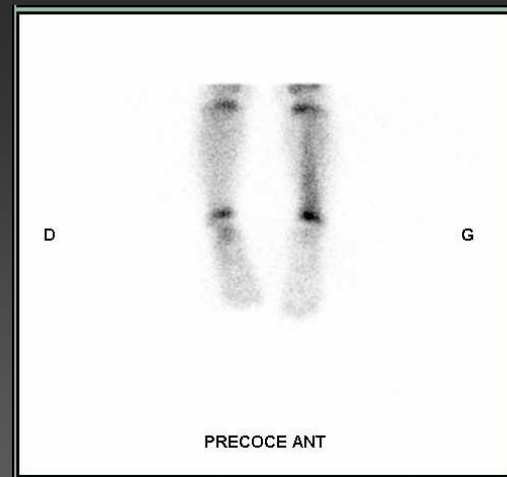
Sp = 89 % (PTH)

Sp = 72 % (PTG)



OSTEOMYELITE

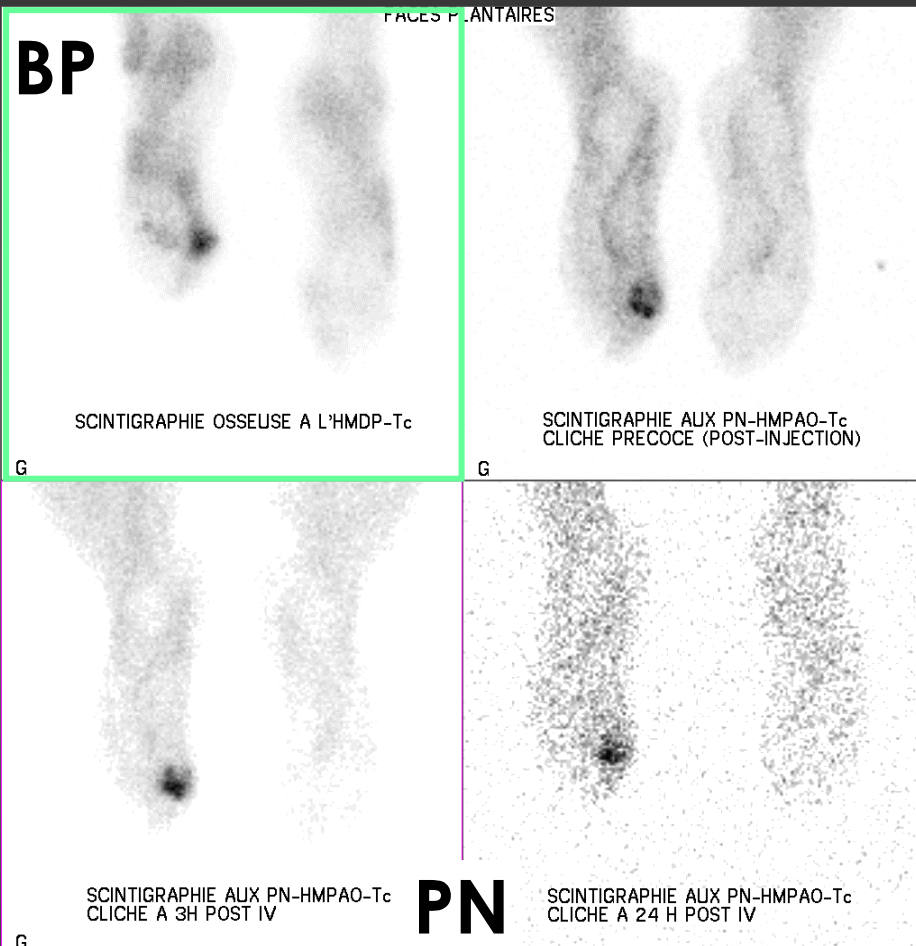
Se = 91 ± 4 %
Sp = 86 % avec CT
Sp = 99 % avec PN
Radio normale < M1



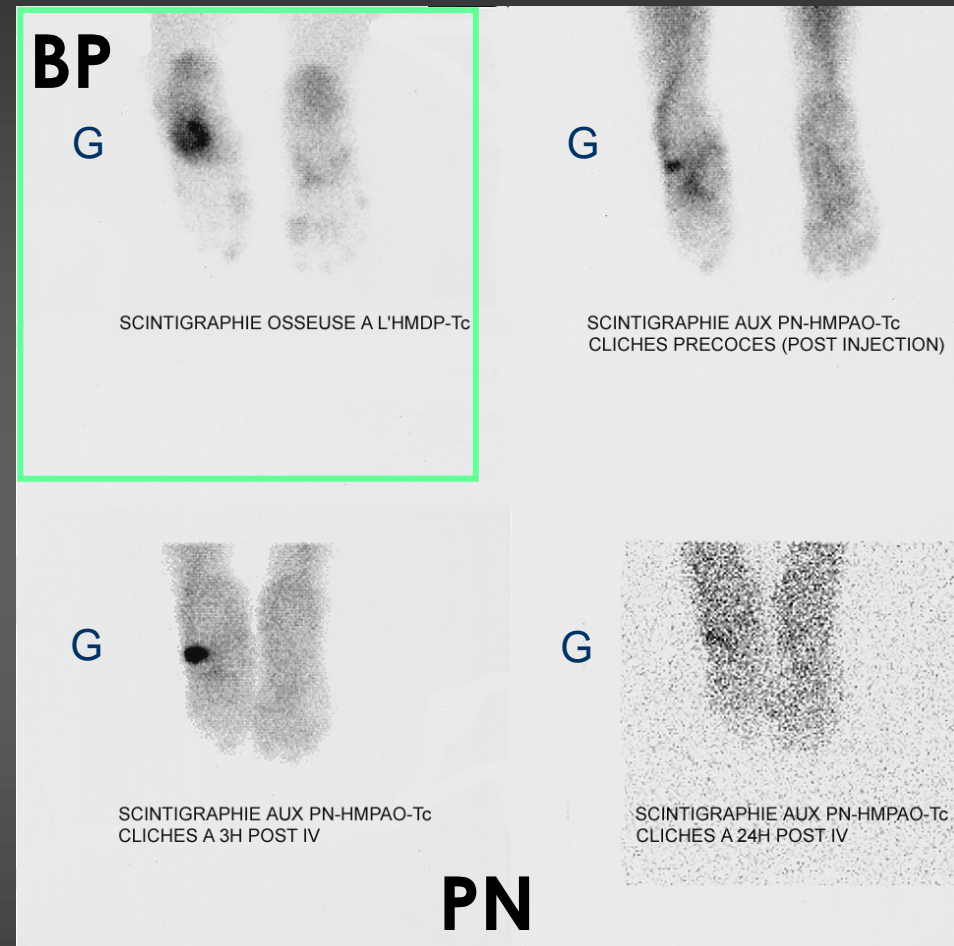
$$\text{FDG-PET : } \left\{ \begin{array}{l} \text{Se} = 97 \pm 3 \% \\ \text{Sp} = 93 \pm 7 \% \end{array} \right.$$

TECHNOLOGIE FRACTURE ALGO NECROSE ARTHROSE ARTHRITE OAH HYPERPARA OSSIFICATION INFECTION TUMEUR

OSTEOMYELITE DU PIED DIABETIQUE



Ostéite de l'hallux gauche.



Neuroarthropathie

$Se = 80 \pm 8 \%$
 $Sp = 80 \pm 11 \%$

OSTEOMYELITE DU PIED DIABETIQUE



Ostéomyélite



Cellulite

Se = 100 %

Sp = 86 %

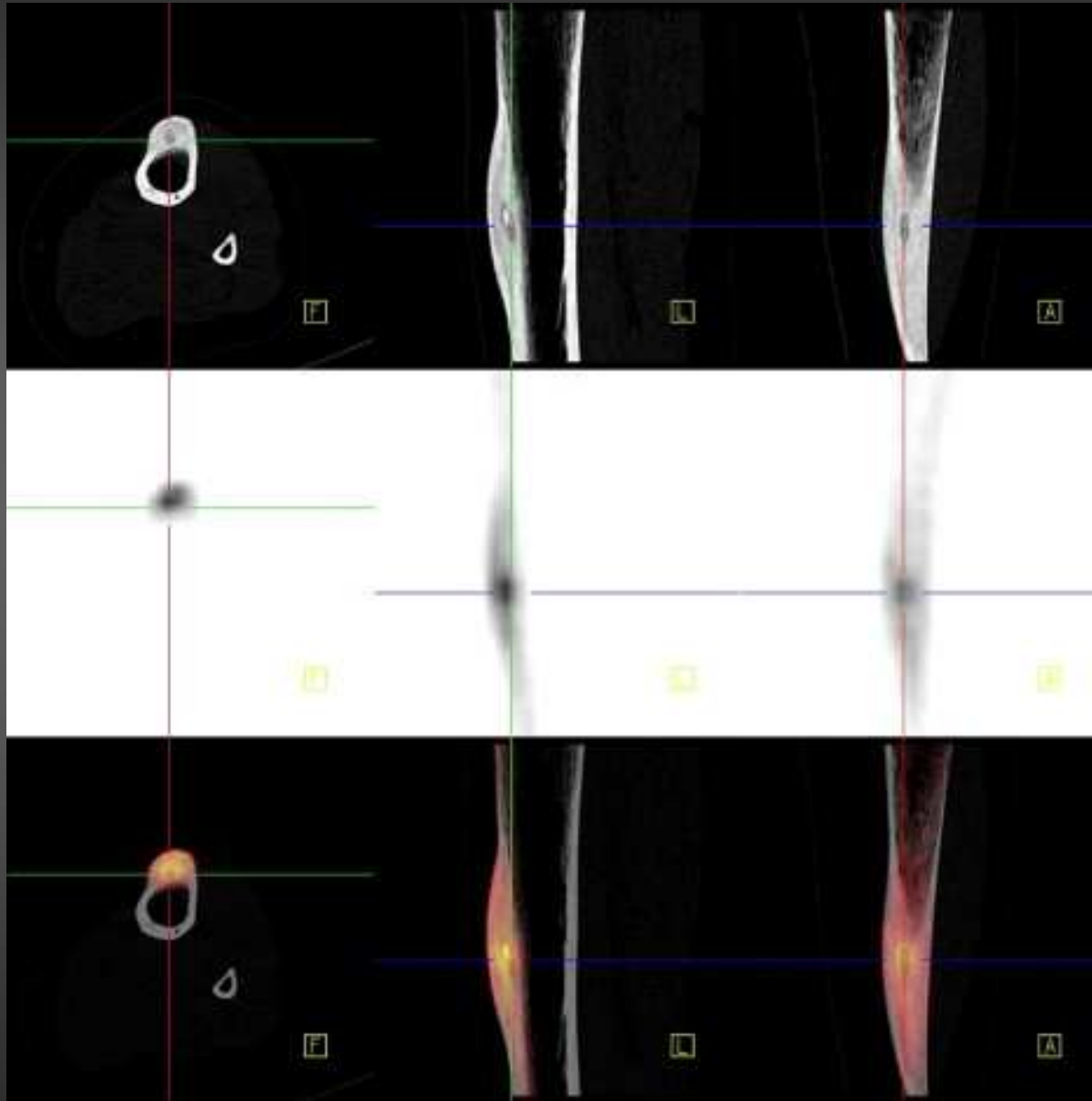
- ✓ Moins sensible à l'activation médullaire: FDG > DP+PN*
- ✓ Moins longtemps fixant sur fractures
- ✓ Meilleure résolution

FDG

SYNTHESE SUR LES INFECTIONS OSSEUSES

	Tc-HDP	Tc-PN	Tc-Colloïdes	Ga-Citrate	F-DG
SPONDYLITES	+	- -	-	+/-	++
SPONDYLODISCITES	++				+
INFECTION DE PROTHESE	++	++	++	-	+
OSTEOMYELITE	++	++	++	+/-	++
PIED DIABETIQUE	+/-	+	+/-	-	++
SACRO-ILEITE	++	-	-	-	+/-

OSTEOME OSTEOIDE



Se = 100 %
Sonde per-opératoire
Idem ostéoblastome

BP

TECHNOLOGIE FRACTURE ALGO NECROSE ARTHROSE ARTHRITE OAH HYPERPARA OSSIFICATION INFECTION TUMEUR

KYSTE OSSEUX



IRM



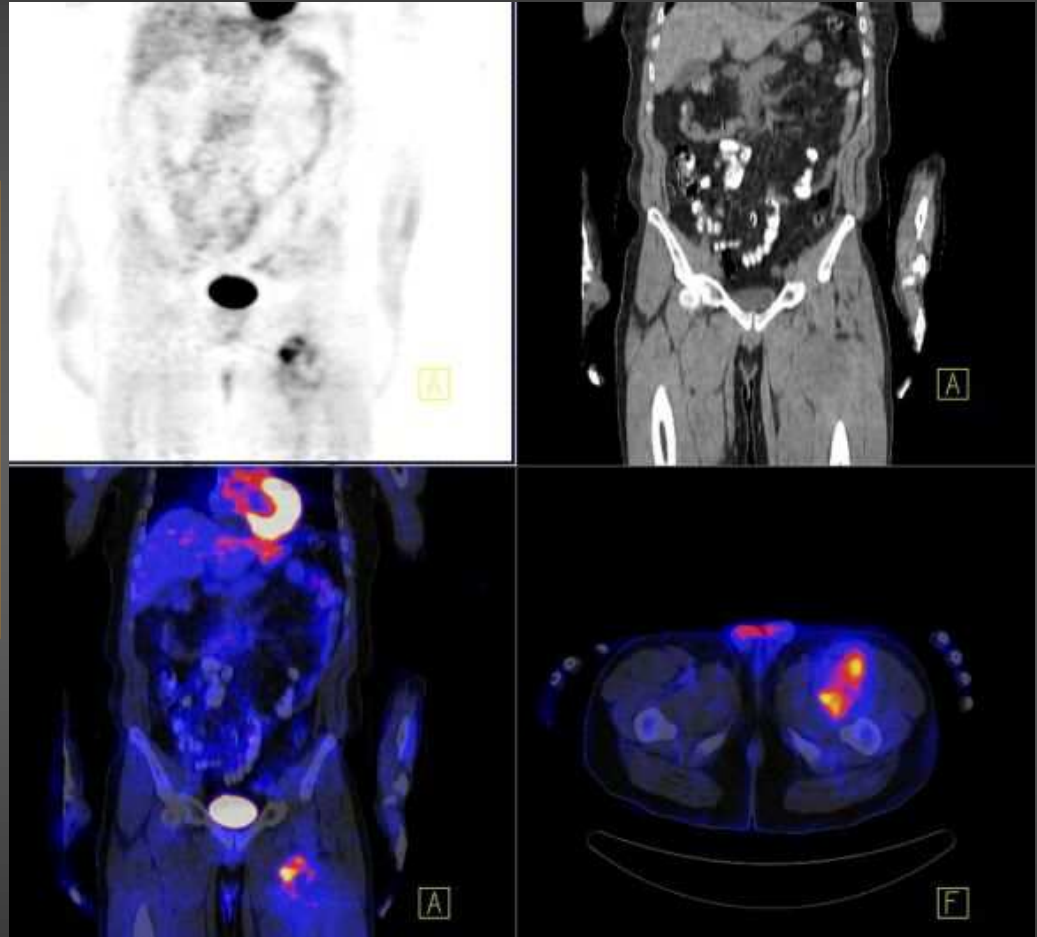
BP

SARCOMES DES TISSUS MOUS

PET-CT au 18-FDG pour :

- Guidage de biopsies (B2)
- Recherche de récidive locale (B2)

Se = 90 %
Sp = 80 %

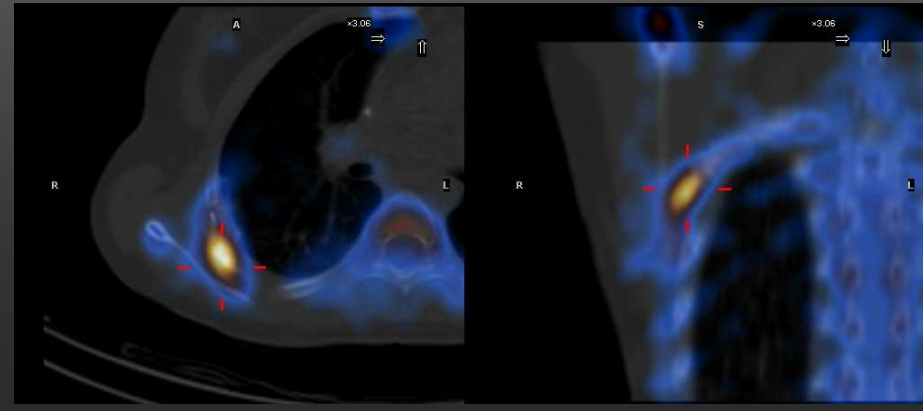


liposarcome

FDG



BP fin de ttt d'Ewing : K5



SARCOMES OSSEUX

Diagnostic : clinique, radio, biopsie

FDG pronostique ?

Bilan d'extension métastatique :

métastase pulmonaire: $Se(FDG) \leq CT$ (résolution)

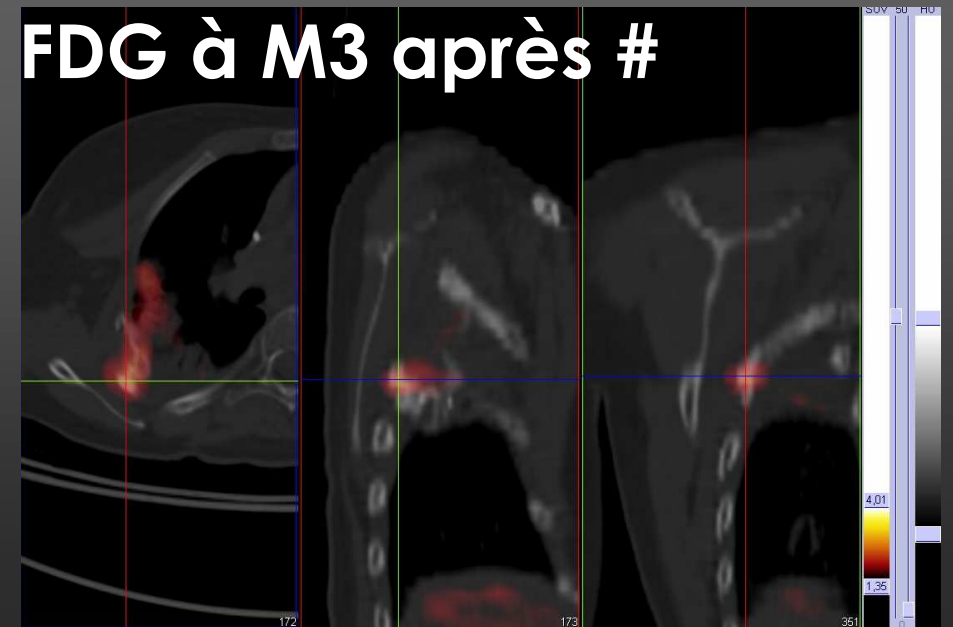
Ewing : $Sp(FDG) > BP$

Ostéosarcome : $Se(BP) > FDG ?$

Efficacité thérapeutique :

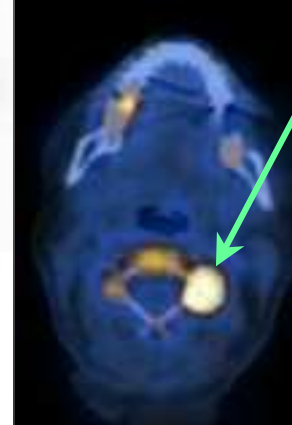
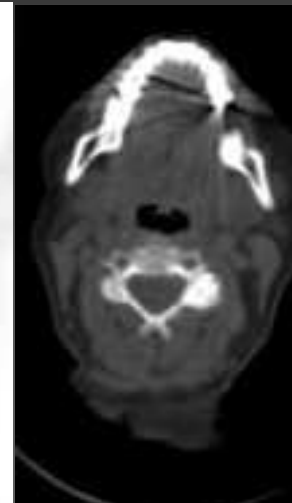
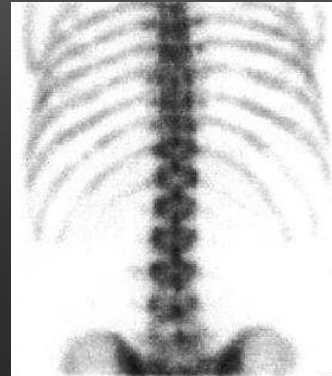
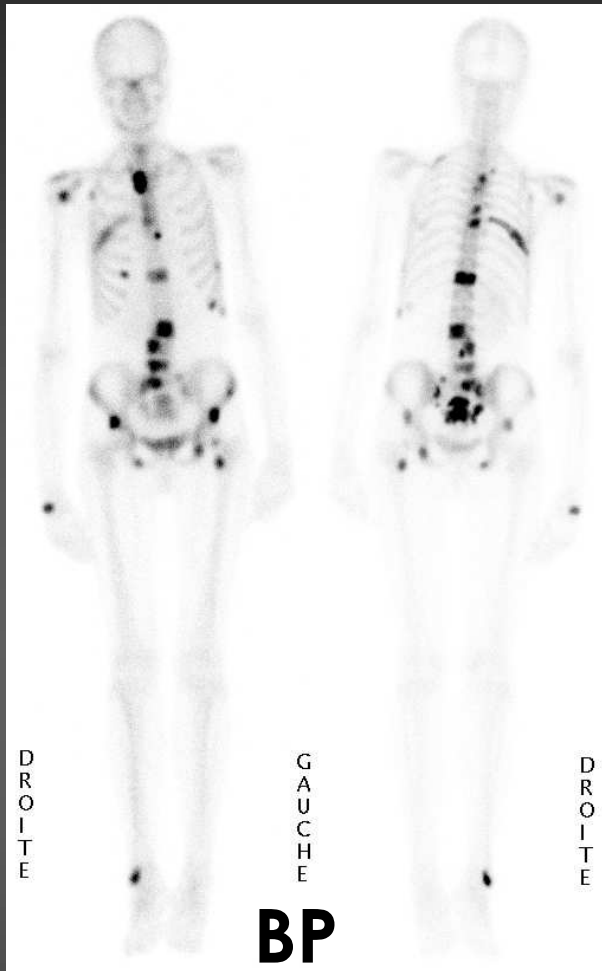
$FDG > BP$ (Flare), CT et IRM

FDG à M3 après #



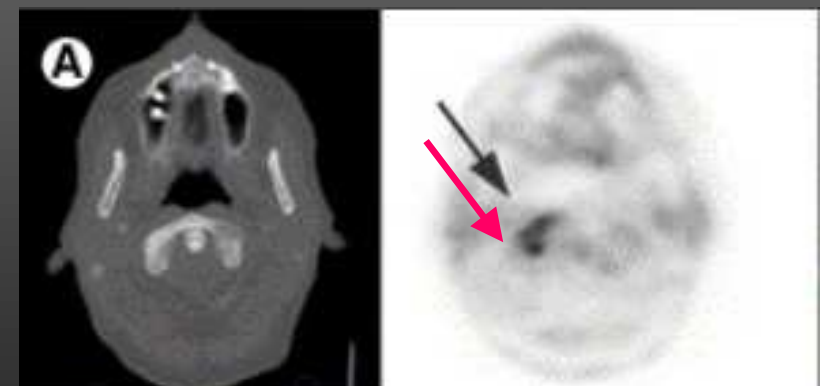
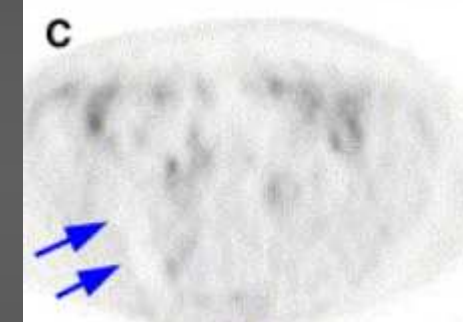
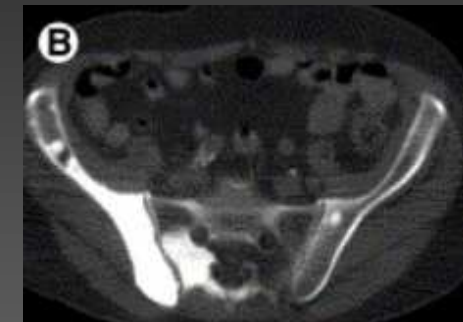
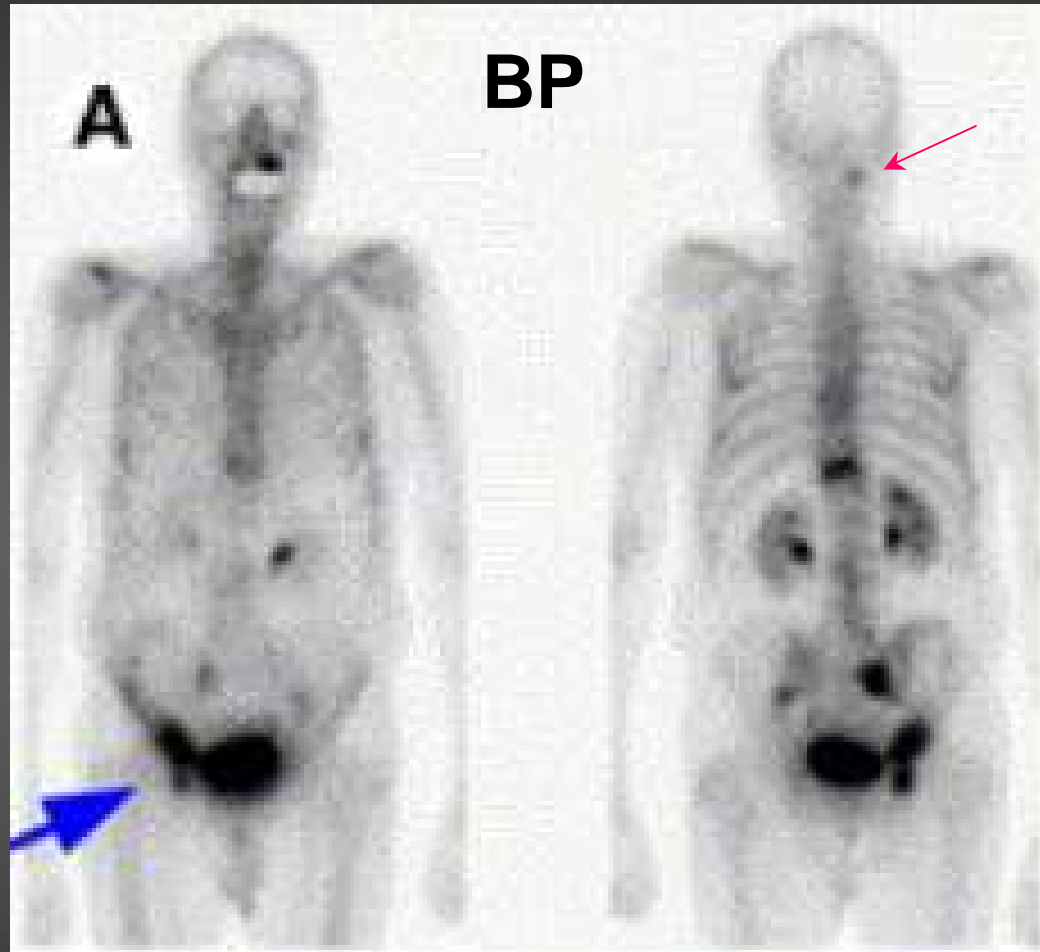
TECHNOLOGIE FRACTURE ALGO NECROSE ARTHROSE ARTHRITE OAH HYPERPARA OSSIFICATION INFECTION TUMEUR

CANCER DU SEIN



FNa

CANCER DE PROSTATE



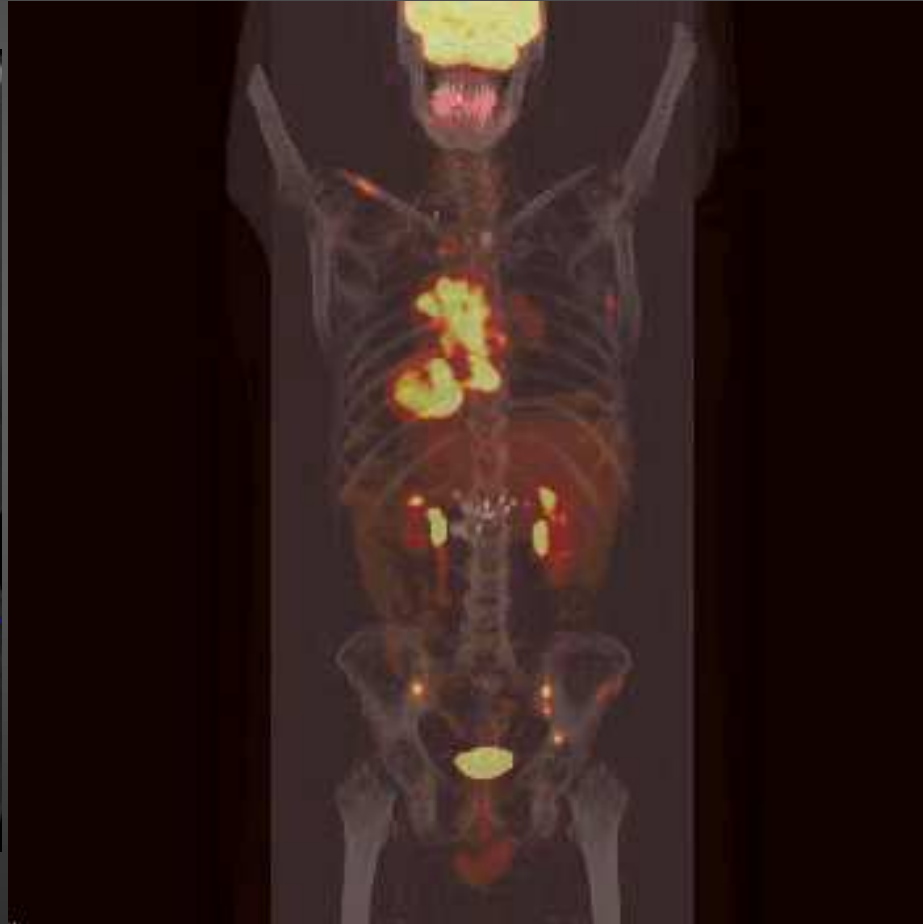
Se (DP) >> Se(FDG)
18FDG-PET + si méta agressive

FDG

HODGKIN, MYELOMES, LMNH FOLLICULAIRES OU AGRESSIFS



MYELOME
FDG



HODGKIN



MYELOME Ig D

SYNTHESE SUR LES METASTASES OSSEUSES

	Tc-HDP ou FNa	F-DG
prostate, carcinoïde, CMT (ostéocondensant)	+	FN sauf si agressif
Thyroïde (lytique, sauf rein), MH, LMNH agressif ou folliculaire, myélome		+
Sarcomes (BE, suivi)	+/-	+
poumon, sein, col de l'utérus, ovaire, testicule, digestif	+ (Se sein ?)	+ (Sp ?)
Résolution	1 cm	½ cm
Tissus mous	- sauf ossification	+
Flare, fractures	6 mois	3 mois

Bibliographie « didactique »

- Scintigraphie de l'appareil locomoteur. Paycha F et Richard B. *Encycl Méd Chir Appareil locomoteur.* 14-001-Q-10, 2002, 21 p.
- Miscellaneous Indications in Bone Scintigraphy: Metabolic Bone Diseases and Malignant Bone Tumors. G. Cook, G. Gnanasegaran, S. Chua. *Semin Nucl Med* 2010; 40:52-61
- Pediatric Bone Scintigraphy Update. Helen R. Nadel. *Semin Nucl Med* 2010; 40:31-40.
- PET and SPECT in Osteomyelitis and Prosthetic Bone and Joint Infections: A Systematic Review. W. van der Bruggen, C. Bleeker-Rovers, O. Boerman, M. Gotthardt, W. Oyen. *Semin Nucl Med* 2010; 40:3-15
- Positron Emission Tomography and Bone Metastases. I. Fogelman, G. Cook, O. Israel. and H. Van der Wall. *Semin Nucl Med* 2005; 35:135-42.

Merci de votre attention...